

С. А. Назаров

**РАСКРЫТИЕ ЛАКУНЫ ВОКРУГ ЗАДАННОЙ
ТОЧКИ СПЕКТРА ЦИЛИНДРИЧЕСКОГО
ВОЛНОВОДА ПУТЕМ ПОЛОГИХ ПЕРИОДИЧЕСКИХ
ВОЗМУЩЕНИЙ СТЕНОК**

§1. ВВЕДЕНИЕ

1.1. Мотивировка. Периодические волноводы характеризуются возможностью появления в спектре *лакун*, т.е. интервалов на положительной вещественной полуоси \mathbb{R}_+ , свободных от спектра σ , но имеющих концевые точки на σ . Лакуна препятствует распространению волн в соответствующем частотном диапазоне, и этот эффект используется при проектировании волновых фильтров и демпферов, а также приборов и их деталей иного назначения. Основной вопрос *инженерии чересполосного (зонного) спектра*¹ таков: как при помощи изменения формы волновода, точнее его ячейки периодичности, создать лакуну заданной ширины в предписанном месте спектра? Настоящая работа частично отвечает на вторую часть вопроса, устанавливая, что посредством периодического возмущения стенок цилиндрического волновода можно образовать лакуну в окрестности каждой точки некоторого интервала в исходном спектре, причем одной из целей становится максимальное увеличение длины упомянутого интервала. Применяются асимптотические методы анализа собственных чисел модельной задачи на ячейке периодичности, и поэтому обнаруженные лакуны оказываются *малыми*. В принципе такую открытую лакуну можно увеличивать путем последующей вариации стенок уже периодического волновода, однако автор не знает публикаций в этом

Ключевые слова: спектральная задачи Дирихле и Неймана для оператора Лапласа, периодический волновод, лакуны, расщепление спектральных сегментов, асимптотический анализ.

Работа выполнена при финансовой поддержке Российского фонда фундаментальных исследований (проект 12-01-00348).

¹Band-gap engineering в английской терминологии

направлении, имеющем отношение к проблеме *оптимизации форм*². В частности поэтому первая часть сформулированного вопроса остается нерешенной полностью.

Асимптотические методы позволяют исследовать спектральные лакуны в тех ситуациях, когда соответствующая предельная (положили малый геометрический параметр равным нулю) задача допускает в каком-то смысле явное решение. Нетрудно указать две такие ситуации: во-первых, предельный волновод является цилиндром и возможно разделение переменных и, во-вторых, в пределе волновод распадается на периодическое семейство идентичных ячеек, на которых задача приобретает дискретный спектр (см. рис. 1 и 2 соответственно). Как уже упоминалось, в первом случае узкими оказываются лакуны. Во втором же малыми становятся сами спектральные сегменты, а интервалы между ними – лакуны – заполняют “почти всю” полуось \mathbb{R}_+ (см. работы [1–3] и др.). Таким образом, вторая ситуация в принципе позволяет полностью ответить на основной вопрос, указанный в предыдущем абзаце. Тем не менее конструкция волновода на рис. 2, а – массивные ячейки, соединенные тонкими перемычками – непригодна для многих практических целей, так как в подобных волноводах затруднены *любые* волновые процессы. Кроме того, обсуждаемый волновод подвержен разрушению: вблизи перемычки возникает явление *пограничного слоя*, которое провоцирует концентрацию напряжений в твердом теле или на стенках, ограничивающих газообразную или жидкую среду.

Именно приведенные соображения заставляют для образования лакун обратиться к регулярным или сингулярным локализованным возмущениям цилиндрических волноводов.

1.2. Постановка спектральных задач. Пусть ω – область в пространстве \mathbb{R}^{d-1} , $d \geq 2$, с гладкой (класса C^∞ для простоты) границей $\partial\omega$ и компактным замыканием $\bar{\omega} = \omega \cup \partial\omega$. В окрестности $\mathcal{V} \supset \partial\omega$ введем локальные координаты n, s , где n – ориентированное расстояние до $\partial\omega$ ($n > 0$ на множестве $\mathcal{V} \setminus \bar{\omega}$), а s – подходящий атлас на $(d-2)$ -мерном подмногообразии $\partial\omega$. Пусть еще h – функция, гладкая и обращающаяся в нуль при $z = 0$ и $z = l > 0$ (опять-таки для простоты). Определим d -мерный цилиндр $\Omega^0 = \omega \times \mathbb{R} \ni x = (y, z)$ с поверхностью $\Gamma^0 = \partial\omega \times \mathbb{R}$, а также l -периодическое возмущение этой

²Shape optimization в английской терминологии.

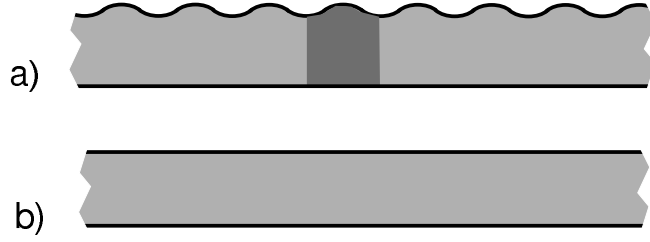


Рис. 1. Цилиндрический волновод (b) и волновод со слабо возмущенной периодической поверхностью (a). Ячейка периодичности глубоко тонирована (a).

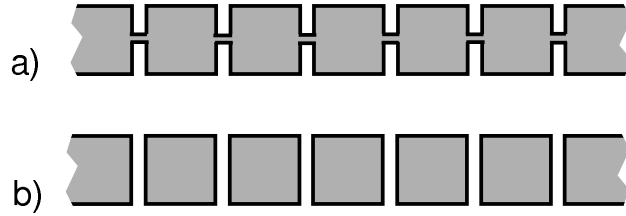


Рис. 2. Периодический волновод (a), распадающийся в пределе на периодическое семейство разьединенных ячеек (b).

поверхности

$$\Gamma^\varepsilon = \{z \in \mathcal{V} \times \mathbb{R} : n = \varepsilon h(s, z)\}; \quad (1.1)$$

здесь ε – малый положительный параметр, а профильную функцию h считаем продолженной на цилиндрическую поверхность Γ^0 по периодичности относительно продольной переменной z .

В области Ω^ε , ограниченной поверхностью (1.1), рассмотрим уравнение Гельмгольца

$$-\Delta u^\varepsilon(x) = \lambda^\varepsilon u^\varepsilon(x), \quad x \in \Omega^\varepsilon, \quad (1.2)$$

снабженное краевым условием Дирихле

$$u^\varepsilon(x) = 0, \quad x \in \Gamma^\varepsilon, \quad (1.3)$$

или Неймана

$$\partial_{\nu^\varepsilon} u^\varepsilon(x) = 0, \quad x \in \Gamma^\varepsilon. \quad (1.4)$$

При этом Δ – оператор Лапласа, λ^ε – спектральный параметр, и $\partial_{\nu^\varepsilon}$ – производная вдоль внешней нормали, т.е. $\partial_{\nu^\varepsilon} = \nu^\varepsilon \cdot \nabla$, где $\nabla = \text{grad}$, точкой обозначено скалярное произведение в \mathbb{R}^d , а ν^ε – единичный вектор внешней нормали к границе $\Gamma^\varepsilon = \partial\Omega^\varepsilon$.

Для того чтобы пользоваться опубликованными результатами, удобно произвести масштабирование и сделать период l единичным, а координаты и геометрические параметры – безразмерными. Последствия масштабирования будут обсуждаться в п. 3 §2, п. 4, 5 §3 и п. 3 §4, а также в п. 5 §1.

1.3. Спектры задач. Вариационная формулировка краевых задач (1.2), (1.3) и (1.2), (1.4) аппелирует к интегральному тождеству [4]

$$(\nabla u^\varepsilon, \nabla v^\varepsilon)_{\Omega^\varepsilon} = \lambda^\varepsilon (u^\varepsilon, v^\varepsilon)_{\Omega^\varepsilon}, \quad v^\varepsilon \in \mathcal{H}^\varepsilon(\Omega^\varepsilon), \quad (1.5)$$

где $(\cdot, \cdot)_{\Omega^\varepsilon}$ – натуральное скалярное произведение в пространстве Лебега $L_2(\Omega^\varepsilon)$, а $\mathcal{H}^\varepsilon(\Omega^\varepsilon) = H^1(\Omega^\varepsilon)$ – пространство Соболева в случае краевых условий Неймана, но в случае условий Дирихле $\mathcal{H}^\varepsilon(\Omega^\varepsilon) = \mathring{H}^1(\Omega^\varepsilon)$ – подпространство функций $v^\varepsilon \in H^1(\Omega^\varepsilon)$, обращающихся в нуль на Γ^ε (ср. равенство (1.3)). Поскольку полуторалинейная эрмитова форма из левой части (1.5) положительна и замкнута на \mathcal{H}^ε , вариационной задаче (1.5) ставится [5, §10.1] в соответствие самосопряженный положительный оператор \mathcal{A}^ε в гильбертовом пространстве $L_2(\Omega^\varepsilon)$. При необходимости оператор обозначаем $\mathcal{A}_D^\varepsilon$ или $\mathcal{A}_N^\varepsilon$, отмечая символом D или N тип краевых условий. По понятной причине оператор $\mathcal{A}_D^\varepsilon$ положительно определен.

Спектры $\sigma_D^\varepsilon \subset \mathbb{R}_+$ и $\sigma_N^\varepsilon \subset \overline{\mathbb{R}_+}$ введенных операторов $\mathcal{A}_D^\varepsilon$ и $\mathcal{A}_N^\varepsilon$ объявляются спектрами вариационных задач (1.5) на пространствах $\mathcal{H}_D^\varepsilon(\Omega^\varepsilon) = \mathring{H}^1(\Omega^\varepsilon)$ и $\mathcal{H}_N^\varepsilon(\Omega^\varepsilon) = H^1(\Omega^\varepsilon)$ или краевых задач Дирихле (1.2), (1.3) и Неймана (1.2), (1.4) соответственно. Известно (см., например, обзоры [6–8], монографии [9–11] и др. публикации), что спектр σ^ε принимает вид

$$\sigma^\varepsilon = \bigcup_{n \in \mathbb{N}} B_n^\varepsilon \quad (1.6)$$

и состоит из *спектральных сегментов*

$$B_n^\varepsilon = \{ \lambda^\varepsilon = \Lambda_n^\varepsilon(\eta) \mid \eta \in [0, 2\pi) \}, \quad (1.7)$$

построенных по членам образованной при учете кратностей последовательности

$$0 \leq \Lambda_1^\varepsilon(\eta) \leq \Lambda_2^\varepsilon(\eta) \leq \dots \leq \Lambda_n^\varepsilon(\eta) \leq \dots \rightarrow +\infty \quad (1.8)$$

собственных чисел модельной задачи на ячейке периодичности (глубоко тонирована на рис. 1, а)

$$\varpi^\varepsilon = \{(y, z) \in \Omega^\varepsilon : z \in (0, 1)\}, \quad (1.9)$$

Упомянутая модельная задача получается из исходной задачи в волноводе Π^ε при помощи преобразования Гельфанда [12] (см. также [13] и [10, 11]), и в случае задачи Дирихле (1.2), (1.3) принимает вид

$$\begin{aligned} -\Delta_y U^\varepsilon(\eta; y, z) - (\partial_z + i\eta)^2 U^\varepsilon(\eta; y, z) \\ = \Lambda^\varepsilon(\eta) U^\varepsilon(\eta; y, z), \quad (y, z) \in \varpi^\varepsilon, \end{aligned} \quad (1.10)$$

$$U^\varepsilon(\eta; y, z) = 0, \quad (y, z) \in \gamma^\varepsilon, \quad (1.11)$$

$$U^\varepsilon(\eta; y, 1) = U^\varepsilon(\eta; y, 0), \quad \partial_z U^\varepsilon(\eta; y, 0) = \partial_z U^\varepsilon(\eta; y, 1), \quad y \in \omega. \quad (1.12)$$

В задаче Неймана (1.2), (1.4) вместо условий (1.11) на боковой поверхности ячейки $\gamma^\varepsilon = \{(y, z) \in \Gamma^\varepsilon : z \in (0, 1)\}$ ставятся условия

$$\partial_{\nu^\varepsilon} U^\varepsilon(\eta; y, z) + i\eta \nu_d^\varepsilon(y) U^\varepsilon(\eta; y, z) = 0, \quad (y, z) \in \gamma^\varepsilon. \quad (1.13)$$

При этом ν_d^ε – проекция вектора нормали ν^ε на ось $x_d = z$, а условия периодичности (1.12) назначены на торцах $\omega_1 = \omega \times \{1\}$ и $\omega_0 = \omega \times \{0\}$ ячейки (1.9). Подчеркнем, что последние формулы и значения 0 и 1 переменной z в условиях периодичности (1.12) обусловлены исключительно введенными ранее требованиями $h(s, z) = 0$ при $z = 0, l$ и $l = 1$.

Задача (1.10)–(1.12) допускает вариационную постановку

$$\begin{aligned} (\nabla_y U^\varepsilon(\eta; \cdot), \nabla_y V^\varepsilon)_{\varpi^\varepsilon} + ((\partial_z + i\eta) U^\varepsilon(\eta; \cdot), (\partial_z + i\eta) V^\varepsilon)_{\varpi^\varepsilon} \\ = \Lambda^\varepsilon(\eta) (U^\varepsilon(\eta; \cdot), V^\varepsilon)_{\varpi^\varepsilon}, \quad V^\varepsilon \in \mathcal{H}_{\text{per}}^\varepsilon(\varpi^\varepsilon), \end{aligned} \quad (1.14)$$

где $\mathcal{H}_{\text{per}}^\varepsilon(\varpi^\varepsilon) = \dot{H}_{\text{per}}^1(\varpi^\varepsilon; \gamma^\varepsilon)$ – подпространство функций $U^\varepsilon \in H^1(\varpi^\varepsilon)$, удовлетворяющих условию Дирихле (1.11) и первому (устойчивому по терминологии [14]) условию периодичности (1.12). Для задачи (1.10), (1.13), (1.12) интегральное тождество (1.14) ставится на подпространстве $\mathcal{H}_{\text{per}}^\varepsilon(\varpi^\varepsilon) = H_{\text{per}}^1(\varpi^\varepsilon) \subset H^1(\varpi^\varepsilon)$ – снимается требование $U^\varepsilon = 0$ на γ^ε . Подчеркнем, что обозначения Δ_y , ∂_z и $(\cdot)_{\varpi^\varepsilon}$, использованные в соотношениях (1.10)–(1.14), вполне аналогичны введенным ранее и не допускают разночтений.

При вещественном параметре η полуторалинейная форма из левой части (1.14) становится эрмитовой и положительной, а значит, ввиду компактности вложения $H^1(\varpi^\varepsilon) \subset L_2(\varpi^\varepsilon)$ спектр этой вариационной задачи оказывается полностью дискретным и образует монотонную неограниченную последовательность (1.8) (см. [5, теоремы 10.1.5 и 10.2.2]). Функции

$$[0, 2\pi) \ni \eta \mapsto \Lambda_n^\varepsilon(\eta) \quad (1.15)$$

являются непрерывными (см., например, [15, гл. 9]) и 2π -периодическим (замены $\eta \mapsto \eta \pm 2\pi$ и

$$U^\varepsilon(\eta; y, z) \mapsto U^\varepsilon(\eta \pm 2\pi; y, z) = e^{\mp 2\pi iz} U^\varepsilon(\eta; y, z)$$

не сказываются на соотношениях (1.10)–(1.13)). Таким образом, множества (1.7) конечные, связные и замкнутые в самом деле.

Если $U^\varepsilon(\eta; \cdot)$ – решение задачи (1.10)–(1.12) с параметрами $\Lambda^\varepsilon(\eta)$ и $\eta \in [0, 2\pi)$, то, как нетрудно проверить, функция $(y, z) \mapsto e^{-2\pi iz} \overline{U^\varepsilon(\eta; y, z)}$ удовлетворяет той же задаче с прежним параметром $\Lambda^\varepsilon(\eta)$, но новым параметром $2\pi - \eta \in (0, 2\pi]$. Иными словами, графики функций (1.15) обладают симметрией относительно прямой $\{\eta = \pi\}$ параллельной оси ординат.

1.4. Структура статьи. В п. 3 следующего параграфа на основе результатов [16, 17] о задаче Дирихле в волноводе, полученном малым периодическим возмущением поверхности цилиндра, продемонстрировано, как решается вопрос об открытии лакуны вокруг заданной точки при определенных ограничениях. Сводка нужных результатов представлена в п. 2, предварительные построения – в п. 1 §2.

Алгоритмы построения асимптотики собственных чисел модельной задачи на регулярно возмущенной ячейке периодичности и, как следствие, процедура исследования лакун подробно изложены в §3 на примере задач Неймана и Дирихле для плоских волноводов – периодических возмущений полосы. Переход к двумерным задачам не меняет существо проблемы, но значительно упрощает формулы и делает изложение более простым, а результаты – более наглядными. Подчеркнем, что обоснование асимптотических разложений собственных чисел целиком следует схеме, разработанной в статье [16] и реализованной также в публикациях [18–20] и др. Поэтому и ввиду иной направленности данной работы в теоремах 3.1 и 3.2 оценки асимптотических остатков сформулированы без доказательств.

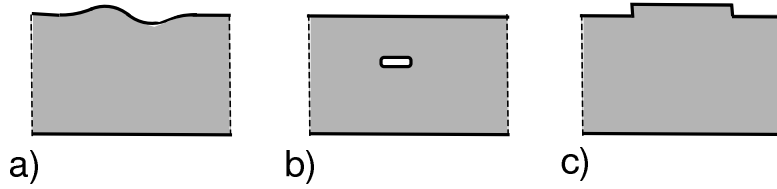


Рис. 3. Возмущение ячейки периодичности, регулярное (а), а также в виде малых полостей (b) или невысоких уступов (с).

В заключительном параграфе результаты о раскрытии лакун, полученные в п. 1–4 §3 для плоских волноводов, приспособлены к задаче Неймана в многомерном случае.

Для читателя, интересующегося исключительно проблемами инженерии чересполосного спектра, вполне достаточно ознакомиться с короткими вторым и четвертым параграфами.

Далее имеем дело только с регулярными возмущениями (1.1) границы (рис. 3, а), однако методы [16, 19, 20] позволяют сделать в точности такие же выводы для нерегулярных возмущений – в виде малых полостей (рис. 3, b) или, например, уступов (рис. 3, с).

1.5. Предварительное обсуждение результатов. Схема образования лакун, исследуемых при помощи асимптотического анализа, изображена на рис. 4, b и с. На первом (b) рисунке изображены дисперсионные кривые в прямом, невозмущенном, цилиндре, а на втором (с) – в периодическом, возмущенном. Первые три лакуны на рис. 4, с (считаем снизу) образовались благодаря расцеплению одиночных узлов (точки с абсциссами $0, 2\pi$ и одинаковыми ординатами отождествляются), а четвертая – благодаря синхронному расцеплению пары узлов, симметричных относительно вертикальной штрих-пунктирной линии. Раскрытие лакун первого типа описано, например, в [16–20], а второго – в [17, 19, 21, 22].

Для открытия лакуны в спектре волновода Ω^ε с периодической поверхностью (1.1) помимо профильной функции h в распоряжении имеется период $l > 0$, который на рис. 4 взят единичным, но далее варьируется. Переход к произвольному периоду осуществляется посредством равномерного сжатия ($l < 1$) или растяжения ($l > 1$) координат

$x = (y, z)$. Графики на рис. 4 деформируются вдоль оси ординат с коэффициентом l^{-2} , соответственно растягиваются или сжимаются. Именно это обстоятельство используется для размещения лакуны вокруг заданной точки, а профильная функция остается в значительной степени произвольной, так как для образования лакуны требуется соблюдение лишь нескольких интегральных условий.

В следующих параграфах будет установлено, что лакуну всегда можно открыть вокруг любой точки

$$M \in (\mu_1, \mu_3], \quad (1.16)$$

где μ_j – собственные числа модельной задачи на сечении ω волновода Ω^0 , т.е. пороги его непрерывного спектра. Если точка M близка к нижней грани спектра μ_1 , то нужно сделать период большим, но при увеличении M подходящий период уменьшается. При $M = \mu_2$ сжатие графиков на рис. 4, b, происходит настолько, что первая лакуна может быть перекрытой вторым спектральным сегментом, т.е. перестать существовать. В случае $M > \mu_2$ такое перекрытие происходит всегда. В замечании 3.1 пояснено, почему рассмотрение второй и третьей лакун на рис. 4, с, никак не помогает достижению поставленной цели. Вместе с тем, при простом собственном числе μ_2 и параметре $M \in (\mu_2, \mu_3]$ на помощь приходит лакуна, образованная расцеплением парных узлов и изображенная на рис. 4, с, четвертой, однако при $M > \mu_3$ происходит и ее перекрытие. Если собственное число μ_2 кратное, то искомый результат для точек (1.16) получен уже на первом этапе. Поэтому далее всегда предполагаем, что μ_2 – простое.

При дальнейшем увеличении параметра M ферма на рис. 4, b, становится “более густой”, и автор не знает возможно ли раскрытие лакун вокруг таких точек путем малых возмущений цилиндрической поверхности. Результаты работ [1–3] и приведенные выше комментарии к “распадающемуся в пределе” волноводу на рис. 2, а, показывают, что лакуну можно образовать около любой внутренней точки спектра цилиндрического волновода, однако возмущение стенок должно быть “большим”. В этом плане особый интерес приобретает вывод асимптотических формул для размеров и положения лакун при малых возмущениях стенок периодических волноводов последующего итеративного их применения для сохранения лакун, но подходящего изменения формы ячейки. Еще раз упомянем, что работ в этом направлении опубликовано не было.

Известно, что при осреднении краевой задачи в области с быстро осциллирующей границей или частой сменой типа краевого условия получаются цилиндрический волновод и краевые условия с не зависящими от продольной переменной дифференциальными операторами. Иными словами, предельный спектр занимает луч целиком. Автор не знает, может ли упомянутый предельный переход, т.е. процедура осреднения, сопровождаться закрытием лакун в спектре допредельного периодического волновода, однако правдоподобная гипотеза отрицает такую возможность.

§2. ЛАКУНЫ В СПЕКТРЕ МНОГОМЕРНОЙ ЗАДАЧИ ДИРИХЛЕ

2.1. Предельная задача в цилиндрическом волноводе. Преобразование Фурье в предельной для (1.2), (1.3) задаче Дирихле

$$-\Delta w(x) = \lambda w(x), \quad x \in \Omega^0, \quad w(x) = 0, \quad x \in \Gamma^0, \quad (2.1)$$

приводит к следующей спектральной задаче на сечении цилиндра $\Omega^0 = \omega \times \mathbb{R}$:

$$-\Delta_y W(y) = \mu W(y), \quad y \in \omega, \quad W(y) = 0, \quad y \in \partial\omega. \quad (2.2)$$

Спектр задачи (2.2) является дискретным и образует монотонную неограниченную последовательность собственных чисел

$$0 < \mu_1 < \mu_2 \leq \mu_3 \leq \dots \leq \mu_n \leq \dots \rightarrow +\infty, \quad (2.3)$$

составленную при учете их кратностей. Соответствующие собственные функции³ $W_1, W_2, W_3, \dots, W_n, \dots \in \dot{H}^1(\omega)$ можно подчинить условиям ортогональности и нормировки

$$(w_n, w_m)_\omega = \delta_{n,m}, \quad n, m \in \mathbb{N}, \quad (2.4)$$

где $\delta_{n,m}$ – символ Кронекера, а $\mathbb{N} = \{1, 2, 3, \dots\}$ – натуральный ряд. Первое собственное число $\mu_1 > 0$ простое, а собственную функцию W_1 можно взять положительной в области ω .

Незатухающая волна (2.5) позволяет построить сингулярную последовательность Вейля (см. книгу [5, §9.1], а также, например, обзор [8] по поводу деталей) и тем самым помещает точку (2.6) в существенный спектр задачи (2.1). Согласно общим результатам [23] (см. также [10,

³Благодаря предположению о гладкости границы $\partial\omega$ они бесконечно дифференцируемы вплоть до границы $\partial\omega$.

гл. 6]) задача в прямом цилиндре не может иметь собственных чисел бесконечной кратности, т.е. по определению существенный спектр совпадает с непрерывным. В итоге получаем, что спектр σ^0 задачи (2.1) является абсолютно непрерывным и представляет собой луч $[\mu_1, +\infty)$ с точкой отсечки⁴ $\mu_1 = \mu_1 > 0$.

При любом $\zeta \in \mathbb{R}$ (двойственная переменная преобразования Фурье) осциллирующая или стоячая ($\zeta = 0$) волна

$$w_m(\zeta; y, z) = e^{i\zeta z} W_m(y) \quad (2.5)$$

удовлетворяет задаче (2.1) с параметром

$$\lambda = \mu_m + \zeta^2. \quad (2.6)$$

В периодическом волноводе Π^ε возникают волны Флоке. Именно, если $\{\Lambda_n^\varepsilon(\eta), U_n^\varepsilon(\eta; \cdot)\}$ – собственная пара {собственное число, собственная функция} задачи (1.10)–(1.12), то функция

$$\Pi^\varepsilon \ni (y, z) \mapsto e^{i\eta z} U_n^\varepsilon(\eta; y, z)$$

удовлетворяет задаче (1.2), (1.3) с параметром $\lambda^\varepsilon = \Lambda_n^\varepsilon(\eta)$. Вместе с тем прямой цилиндр Ω^0 можно интерпретировать как 1-периодическое множество в направлении оси z , а значит, волна (2.5) допускает запись в форме Флоке

$$w_m(\zeta; y, z) = e^{i\eta z} U_p^0(\eta; y, z),$$

причем

$$\eta = \zeta - 2\pi q \in [0, 2\pi), \quad q = \max \{j \in \mathbb{Z} \mid 2\pi q \leq \zeta\}, \quad (2.7)$$

$$U_p^0(\eta; y, z) = e^{2\pi q iz} W_m(y), \quad (2.8)$$

где $\mathbb{Z} = \{0, \pm 1, \pm 2, \dots\}$ – множество целых чисел, т.е. q – целая часть дроби $\frac{\zeta}{2\pi}$, а функция (2.8) остается периодической относительно продольной переменной. Нетрудно убедиться в том, что функция $U_p^0(\eta; \cdot)$ удовлетворяет задаче

$$\begin{aligned} -\Delta_y U^0(\eta; y, z) - (\partial_z + i\eta)^2 U^0(\eta; y, z) \\ = \Lambda^0(\eta) U^0(\eta; y, z), \quad (y, z) \in \varpi^0, \end{aligned} \quad (2.9)$$

$$U^0(\eta; y, z) = 0, \quad (y, z) \in \gamma^0 = \partial\omega \times (0, 1), \quad (2.10)$$

$$U^0(\eta; y, 1) = U^0(\eta; y, 0), \quad \partial_z U^0(\eta; y, 1) = \partial_z U^0(\eta; y, 0), \quad y \in \omega, \quad (2.11)$$

⁴Cut-off в английской терминологии.

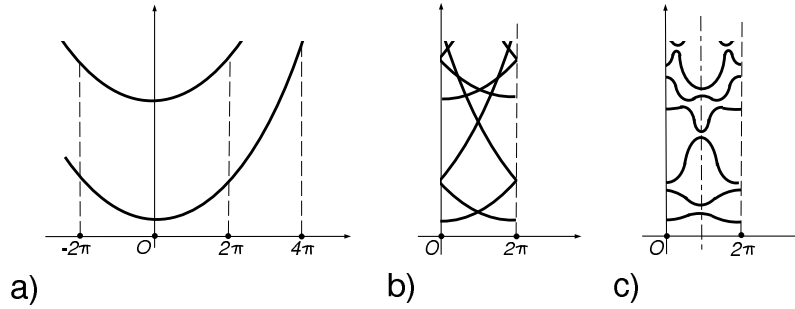


Рис. 4. Дисперсионные кривые (а), соответствующая ферма (б) и расщепление узлов фермы при возмущении ячейки периодичности (с).

с параметром

$$\Lambda_p^0(\eta) = \mu_m + (\eta + 2\pi q)^2. \quad (2.12)$$

Эта задача является предельной для (1.10)–(1.12) и поставлена в прямом конечном цилиндре $\varpi^0 = \omega \times (0, 1)$.

Из-за возможности разделить переменные y и z в цилиндре ϖ^0 формулы (2.12), (2.8) дают все собственные пары задачи (2.9)–(2.11). Разумеется, в правых частях (2.12) и (2.8) фигурирует два индекса $m \in \mathbb{N}$, $q \in \mathbb{Z}$, и требуется еще упорядочить собственные числа в последовательность (1.8), занумеровав их одним индексом $p \in \mathbb{N}$.

Преобразование $\zeta \mapsto \eta$, указанное формулой (2.7), разбивает дисперсионные кривые (2.6) (на рис. 4, а приведены параболы с $m = 1$ и $m = 2$) на конечные дуги и собирает их в “ферму” Υ^0 , изображенную на рис. 4, б и составленную из графиков кусочно-гладких непрерывных функций (2.12), заданных на полуинтервале $[0, 2\pi) \ni \eta$.

2. Сводка результатов. Возмущение боковой поверхности ячейки периодичности приводит к возмущению фермы Υ^0 и превращение ее в совокупность Υ^ε , вообще говоря, гладких графиков функций (1.15). Согласно формулам (1.6) и (1.7) спектр σ^ε задачи (1.2), (1.3) является проекцией множества Υ^ε на ось ординат (точно так же спектр $\sigma^0 = [\mu_+, +\infty)$ задачи (2.1) – проекция на ось ординат фермы, изображенной на рис. 4, б). Распадение узлов фермы Υ^0 (вообще

говоря, не всех) так, как указано на рис. 4, с, приводит к образованию лакун. Этот эффект в других геометрических ситуациях известен в физической литературе как *расщепление концов спектральных сегментов*⁵ (см. [24, 25] и др.), однако впервые строгое математическое обоснование эффекта дано в работе [16] (см. также последующие статьи [17–22] и др.). Приведем несколько результатов [16, 17] о раскрытии лакун

$$G_n^\varepsilon = (g_{n-}^\varepsilon, g_{n+}^\varepsilon) = \left(\max_{\eta \in [0, 2\pi)} \Lambda_n^\varepsilon(\eta), \min_{\eta \in [0, 2\pi)} \Lambda_{n+1}^\varepsilon(\eta) \right) \quad (2.13)$$

в предположении, что

$$\mu_1 < \mu_2 < \mu_1 + 4\pi^2, \quad \mu_2 < \mu_3, \quad (2.14)$$

т.е., в частности, μ_2 – простое собственное число (как и всегда μ_1). Последнее условие запрещает симметрию сечения ω при $d \geq 3$, однако по понятной причине в двумерной ($d = 2$) задаче все числа из последовательности (2.3) простые. Отметим, что далее второе ограничение (2.14) придется усилить.

В последующих вычислениях различаем два случая

$$\mu_1 + \pi^2 < \mu_2 \quad (2.15)$$

и

$$\mu_1 + \pi^2 = \mu_2. \quad (2.16)$$

Соответствующие формулам (2.14)–(2.16) фрагменты ферм изображены на рис. 5, а и b.

Введем величины

$$H_{jk}^{(q)} = \int_0^1 e^{2\pi i q z} \int_{\partial\omega} h(s, z) \partial_n W_j(y) \partial_n W_k(y) ds_y dz. \quad (2.17)$$

Подчеркнем, что благодаря сильному принципу максимума справедливо неравенство $\partial_n W_1 < 0$ на $(d - 2)$ -мерной поверхности $\partial\omega \subset \mathbb{R}^{d-1}$ для положительной первой собственной функции W_1 . Для второй собственной функции W_2 , обязательно принимающей как отрицательные, так и положительные значения внутри области $\omega \subset \mathbb{R}^{d-1}$, нормальная производная $\partial_n W_2$ может менять знак и на границе $\partial\omega$, но, разумеется, не обращается в нуль на ее подмножестве положительной меры

⁵Split of spectral band edges в английской терминологии.

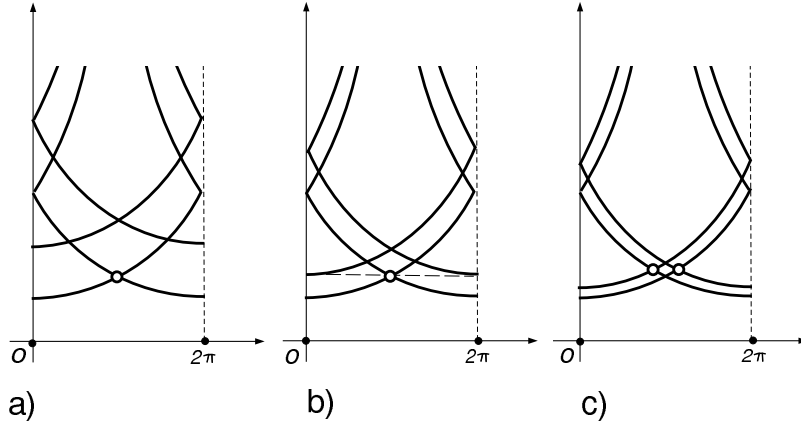


Рис. 5. Фрагменты ферм при условиях (2.15), (2.16) и (2.14), (2.23) – (a)–(c) соответственно. Рассматриваемые узлы помечены значком \circ .

mes_{d-2} . Таким образом, величинам (2.17) можно придать любые значения путем подбора весового множителя $h(s, z)$.

Согласно результатам [16] при условиях (2.15) и $H_{11}^{(1)} \neq 0 \in \mathbb{C}^2$ раскрыта лагуна G_1^ε (см. рис. 6, а) с концами

$$g_{1\pm}^\varepsilon = \mu_1 + \pi^2 + \varepsilon \left(-H_{11}^{(0)} \pm |H_{11}^{(1)}| \right) + O(\varepsilon^2), \quad (2.18)$$

происходящая от расщепления узла

$$P^1 = (\pi, \mu_1 + \pi^2), \quad (2.19)$$

отмеченного символом \circ на рис. 5, а. Подбором профильной функции h можно добиться выполнения неравенств $g_{1-}^\varepsilon < \mu_1 + \pi^2 < g_{1+}^\varepsilon$ при малом ε , т.е. поместить точку $\Lambda_1^0(\pi) = \mu_1 + \pi^2$ вовнутрь лагуны G_1^ε . В частности, включение $\mu_1 + \pi^2 \in G_1^\varepsilon$ имеет место при выполнении требования

$$\left| H_{11}^{(1)} \right| > \left| H_{11}^{(0)} \right|. \quad (2.20)$$

Если

$$\mu_2 < \mu_1 + \pi^2, \quad (2.21)$$

т.е. оба соотношения (2.15), (2.16) нарушены, то обнаруженный зазор между графиками функций (1.15) с $n = 1, 2$ около точки $\eta = \pi$

перекрыт сегментом B_2^ε (см. рис. 5, с, и рис. 6, с). Однако, как установлено в работе [17] (см. также [19, 22]), появляется непустая лакуна G_2^ε в результате симметричного расщепления узлов

$$\begin{aligned} P_\pm^2 &= (\pi \pm \vartheta, \Lambda_2^0(\pi \pm \vartheta)) \\ &= \left(\pi \pm \frac{\mu_2 - \mu_1}{4\pi}, \pi^2 + \frac{1}{2}(\mu_2 + \mu_1) + \frac{(\mu_2 - \mu_1)^2}{16\pi^2} \right) \end{aligned} \quad (2.22)$$

(отмечены значком \circ на рис. 5, с; ср. также рис. 5, а, на котором они также имеются, но специально не выделены). Именно, при условии $H_{12}^{(1)} \neq 0 \in \mathbb{C}^2$ лакуна G_2^ε имеет положительную ширину $O(\varepsilon)$ и к тому же при простых дополнительных требованиях к величинам $H_{11}^{(0)}$ и $H_{22}^{(0)}$ содержит точку $\Lambda_2^0(\pi \pm \vartheta)$ (см. определения (2.13) и (2.22)). Разумеется, для того чтобы избежать ситуации на рис. 7, когда перекрыты все рассчитанные и предполагаемые лакуны, нужно предположить, что

$$\mu_3 > \pi^2 + \frac{1}{2}(\mu_2 + \mu_1) + \frac{(\mu_2 - \mu_1)^2}{16\pi^2} \quad (2.23)$$

(ср. ординату узлов (2.22)). В замечании 3.2 приведены асимптотические формулы для концов $g_{2\pm}^\varepsilon$ лакуны G_2^ε . В случае (2.15), (2.23), отмеченном на рис. 5, а, открыты обе лакуны G_1^ε и G_2^ε (рис. 6, а), но в случае (2.23), (2.21) лакуна G_1^ε отсутствует (рис. 5, с, и рис. 6, с).

Обратимся теперь к равенству (2.16) (см. рис. 5, b), который характерен частичным перекрытием зазора сегментом B_2^ε (см. рис. 6, b). В работе [16] проверено, что концы лакуны (2.13), $n = 1$, удовлетворяют при малом $\varepsilon > 0$ соотношениям

$$\begin{aligned} g_{1-}^\varepsilon &= \mu_1 + \pi^2 - \varepsilon \left(-H_{11}^{(0)} + \left| H_{11}^{(1)} \right| \right) + O(\varepsilon^2), \\ g_{1+}^\varepsilon &= \mu_1 + \pi^2 - \varepsilon \min \left\{ -H_{11}^{(0)} - \left| H_{11}^{(1)} \right|, H_{22}^{(0)} \right\} + O(\varepsilon^2). \end{aligned}$$

Опять-таки подбором профиля h возмущения стенки (1.1) можно добиться неравенства $g_{1-}^\varepsilon < g_{1+}^\varepsilon$ и включения $\mu_1 + \pi^2 \in G_1^\varepsilon$.

Наконец, в случае равенства

$$\mu_3 = \pi^2 + \frac{1}{2}(\mu_2 + \mu_1) + \frac{(\mu_2 - \mu_1)^2}{16\pi^2} \quad (2.24)$$

также возможно полное или частичное перекрытие лакуны G_2^ε . Пусть $\mu_3 = \dots = \mu_{2+\varkappa}$ — собственное число задачи (2.2) с кратностью $\varkappa \geq 1$.

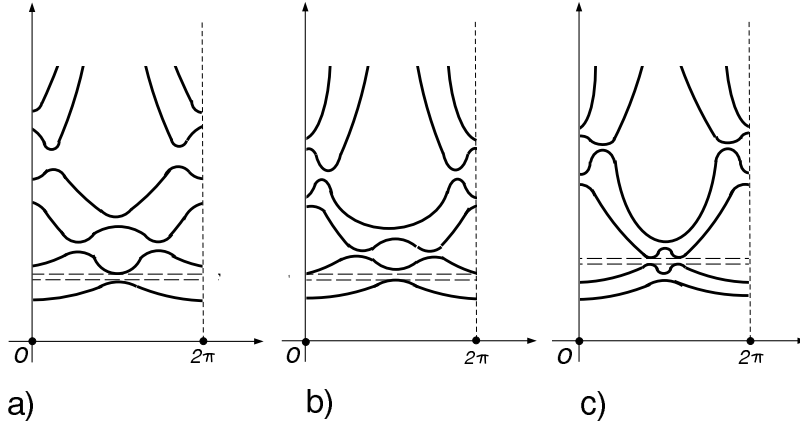


Рис. 6. Расщепление узлов при условиях (2.15), (2.16) и (2.21), (2.23) (см. (a)–(c) соответственно). Обнаруживаемые лакуны – проекции на ось ординат прямоугольников, обведенных штрих-пунктирной линией.

Справедлива формула Адамара [26] (см. далее замечание 2.1)

$$\Lambda_p^\varepsilon(0) = \mu_3 + \varepsilon\beta_p + O(\varepsilon^2), \quad (2.25)$$

где $\beta_3, \dots, \beta_{2+\varkappa}$ – собственные числа симметричной $(\varkappa \times \varkappa)$ -матрицы $V = \left(H_{pq}^{(0)}\right)_{p,q=3}^{2+\varkappa}$ с элементами (2.17). Таким образом, как и в статье [16], делая эту матрицу положительно определенной путем подбора профиля возмущения h и уводя тем самым нижние точки (2.25) графиков функций Λ_p^ε от точки μ_3 вверх, сохраняем лакуну G_2^ε раскрытой.

Подведем итог. В предположении, что μ_2 – простое собственное число, принадлежащее интервалу $(\mu_1, \mu_1 + 4\pi^2)$ и удовлетворяющее требованию (2.23) или (2.24), при надлежащем выборе профиля возмущения (1.1) стенок волновода Π^ε в спектре задачи Дирихле (1.2), (1.3) найдется лакуна шириной $O(\varepsilon)$, содержащая ординату одной из точек (2.19) или (2.22).

Подчеркнем, что во всех случаях выбор профиля возмущения обусловлен лишь несколькими интегральными условиями (ср. соотношения (2.20), (2.17), а также далее (3.52), (4.13)). Столь же просто можно

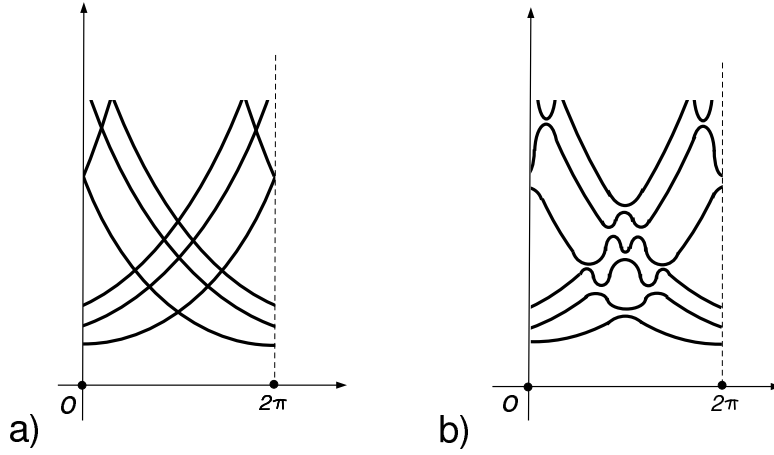


Рис. 7. При нарушении ограничений (2.23) и (2.24) все обсуждаемые лакуны перекрыты другими спектральными сегментами.

удовлетворить требованиям [16, 18–20, 22], обеспечивающим раскрытие лагун в случае нерегулярных возмущений ячейки периодичности (рис. 3, b).

2.2. Образование лакуны около заданной точки спектра. Обозначим исходный (до масштабирования) цилиндрический волновод через $\widehat{\Omega} = \widehat{\omega} \times \mathbb{R}$, а профильную функцию \widehat{h} , определяющую возмущенный волновод $\widehat{\Omega}^\varepsilon$ по аналогичной (1.1) формуле, возьмем l -периодической с некоторым $l > 0$. Сделанное в п. 2 §1 масштабирование сопровождается заменой координат

$$\widehat{x} \mapsto x = l^{-1}\widehat{x}. \tag{2.26}$$

При этом собственные числа (2.3) задачи (2.1) на сечении

$$\omega = \{y \in \mathbb{R}^{d-1} : ly \in \widehat{\omega}\}$$

волновода $\Omega = \omega \times \mathbb{R}$ принимают вид

$$\mu_n = l^2 \widehat{\mu}_n, \quad n \in \mathbb{N}; \tag{2.27}$$

здесь фигурируют собственные числа

$$\widehat{\mu}_1 < \widehat{\mu}_2 < \widehat{\mu}_3 \leq \dots \leq \widehat{\mu}_n \leq \dots \rightarrow +\infty \tag{2.28}$$

задачи Дирихле для оператора Лапласа в области $\hat{\omega}$. Второе неравенство в цепочке (2.28) строгое по предположению (это уже упоминалось неоднократно).

Зафиксируем какую-либо точку M из полуинтервала $(\hat{\mu}_1, \hat{\mu}_2]$ непрерывного спектра $\hat{\sigma} = [\hat{\mu}_1, +\infty)$. Воспользуемся приведенным выше результатом [16] о лакуне около ординаты $\mu_1 + \pi^2$ узла (2.19), которая (ордината) при учете связи (2.27) принимает вид

$$l^{-2}(l^2\hat{\mu}_1 + \pi^2) = \hat{\mu}_1 + \pi^2 l^{-2}. \quad (2.29)$$

Затребованное в условиях (2.15) и (2.16) неравенство $\mu_2 \geq \mu_1 + \pi^2$ означает, что

$$\hat{\mu}_2 \geq \hat{\mu}_1 + \pi^2 l^{-2} \quad \Leftrightarrow \quad l \geq \pi(\hat{\mu}_2 - \hat{\mu}_1)^{-1/2}.$$

Теперь совсем нетрудно найти период l_M , при котором величина (2.29) совпадает с M , а именно,

$$l_M = \pi(M - \hat{\mu}_1)^{-1/2} \geq \pi(\hat{\mu}_2 - \hat{\mu}_1)^{-1/2}.$$

Если же $M > \hat{\mu}_2$, то применим упомянутый выше результат [17] о лакуне около точки $\Lambda_2^0(\pi \pm \vartheta) = \mu_2 + (\pi \pm \vartheta)^2$ (см. формулу (2.22)), превращающейся в точку

$$\frac{1}{l^2} \left(l^2 \hat{\mu}_2 + \left(\pi - l^2 \frac{\hat{\mu}_2 - \hat{\mu}_1}{4\pi} \right)^2 \right) = \hat{\mu}_2 + \frac{\pi^2}{l^2} \left(1 - l^2 \frac{\hat{\mu}_2 - \hat{\mu}_1}{4\pi^2} \right)^2. \quad (2.30)$$

Требование (2.14) переписываем следующим образом:

$$\hat{\mu}_2 < \hat{\mu}_1 + 4\pi^2 l^{-2} \quad \Leftrightarrow \quad l < 2\pi(\hat{\mu}_2 - \hat{\mu}_1)^{-1/2}.$$

Последнее соотношение и простые вычисления показывают, что, когда переменная l “пробегает” интервал $(0, 2\pi(\hat{\mu}_2 - \hat{\mu}_1)^{-1/2})$, величина (2.30), монотонно возрастающая функция, принимает все значение на открытом луче $(\hat{\mu}_2, +\infty)$, т.е. при определенном периоде l_M становится равной M . Осталось соблюсти требование (2.23) во избежание картины на рис. 7, б. Оно запрещает величине (2.30) превосходить третье собственное число $\hat{\mu}_3$. В результате нужный период l_M , обеспечивающий раскрытую и содержащую точку

$$M \in (\hat{\mu}_1, \hat{\mu}_3] \quad (2.31)$$

(ср. указанное во введении включение (1.16)) лакуну в спектре волновода $\hat{\Omega}^\varepsilon$ для $\varepsilon \in (0, \hat{\varepsilon})$, $\hat{\varepsilon} > 0$, и некоторой возмущающей профильной функции \hat{h} .

Случай $M = \hat{\mu}_1$ особый: лакуну около точки отсечки $\hat{\mu}_\dagger$ (нижней грани спектра волновода $\hat{\Pi}$) открыть нельзя. Тем не менее, нижняя грань $\underline{\sigma}^\varepsilon$ спектра возмущенного волновода Π^ε удовлетворяет соотношению

$$\underline{\sigma}^\varepsilon = \mu_1 - \varepsilon H_{11}^{(0)} + O(\varepsilon^2), \quad (2.32)$$

а значит, за счет уменьшения объема ячейки ϖ^ε можно освободить окрестность точки $M = \hat{\mu}_1$ от спектра $\hat{\sigma}^\varepsilon$ волновода $\hat{\Pi}^\varepsilon$. При этом каких-либо ограничений на период l не возникает.

Замечание 2.1. Ввиду симметричности графиков функций (1.15) справедливо равенство $\underline{\sigma}^\varepsilon = \Lambda_1^\varepsilon(0)$, т.е. для вывода соотношения (2.32) достаточно изучить асимптотику первого собственного числа задачи (1.10)–(1.12) при фиксированном параметре $\eta = 0$. Иными словами, представление (2.32) – классическая формула Адамара [26].

Если требования (2.23) и (2.24) нарушены, т.е.

$$\mu_3 < \pi^2 + \frac{1}{2}(\mu_2 + \mu_1) + \frac{(\mu_2 - \mu_1)^2}{16\pi^2}, \quad (2.33)$$

то рассмотренные лакуны не раскрываются – это видно на рис. 7, а и б. Ответ на вопрос, можно ли в ситуации (2.33) образовать лакуну при малом периодическом возмущении цилиндрической поверхности, автору неизвестен.

§3. ДВУМЕРНЫЕ ЗАДАЧИ

3.1. Задача Неймана. В качестве иллюстрации к материалам следующего и предыдущего параграфов рассмотрим задачи Неймана и Дирихле в полосе

$$\Omega^0 = (0, D) \times \mathbb{R} \quad (3.1)$$

и на ее периодическом возмущении

$$\Omega^\varepsilon = \left\{ (y, z) \in \mathbb{R}^2 : z \in \mathbb{R}, -\varepsilon h_-(z) < y < D + \varepsilon h_+(z) \right\};$$

здесь h_\pm – гладкие 1-периодические функции, причем, как и ранее, предполагаем, что $h_\pm(0) = h_\pm(1) = 0$. Исходная (до масштабирования) полоса имеет единичную ширину, т.е. $\hat{\Omega}^0 = (0, 1) \times \mathbb{R}$, а $l = D^{-1}$ – период возмущения стенок.

Обычное физическое истолкование задач Дирихле (1.2), (1.3) и (2.1) – квантовые волноводы. Задачи Неймана (1.2), (1.4) и

$$\begin{aligned} -\Delta w(y, z) &= \lambda w(y, z), \quad (y, z) \in \Omega^0, \\ \partial_n w(y, z) &= 0, \quad (y, z) \in \Gamma^0 = \partial\Omega^0, \end{aligned} \quad (3.2)$$

могут быть в первую очередь связаны с акустическим волноводом, имеющим жесткие стенки, но в двумерном случае также с волнами на поверхности несжимаемой жидкости (воды), заполняющей трехмерный канал с вертикальными берегами и горизонтальным дном. Дело в том, что линейная теория поверхностных волн (см., например, книгу [27]) имеет дело со спектральным краевым условием Стеклова на горизонтальной свободной поверхности жидкости $\Omega^\varepsilon \times \{0\}$ или $\Omega^0 \times \{0\}$, однако после разделения переменных в пространственном уравнении Лапласа сводится к плоским задачам Неймана (1.2), (1.4) или (3.2). Еще одна интерпретация двумерной скалярной задачи Неймана, возникающая в результате разделения переменных в трехмерной векторной системе уравнений теории упругости, соотносится с поперечными упругими волнами, путешествующими вдоль образующих периодически искривленного упругого однородного изотропного слоя (см., например, монографию [28]).

Отвечающая (3.2) модельная задача на отрезке $\omega = (0, D)$, сечении полосы (3.1),

$$-\frac{d^2 W}{dy^2}(y) = \mu W(y), \quad y \in (0, D), \quad \frac{dW}{dy}(0) = \frac{dW}{dy}(D) = 0, \quad (3.3)$$

имеет решения

$$\begin{aligned} \mu_1 &= 0, \quad W_1(y) = D^{-1/2}, \\ \mu_{l+1} &= \frac{\pi^2}{D^2} l^2, \quad W_{l+1}(y) = \sqrt{\frac{2}{D}} \cos\left(\frac{\pi}{D} l y\right), \quad l \in \mathbb{N}. \end{aligned} \quad (3.4)$$

Решения аналогичной (2.9)–(2.11) модельной задачи, в которой условия Дирихле (2.10) заменены условиями Неймана

$$\partial_\nu U^0(\eta; y, z) = 0, \quad (y, z) \in \gamma^0 = \partial\omega \times (0, 1), \quad (3.5)$$

на прямоугольнике $\varpi^0 = (0, D) \times (0, 1)$ приобретают вид

$$\Lambda_{m,q}^0(\eta) = \mu_m + (\eta + 2\pi q)^2, \quad (3.6)$$

$$U_{m,q}^0(\eta; y, z) = \sqrt{\frac{2}{D}} e^{2\pi i q z} W_m(y).$$

Собственные числа (3.6) пронумерованы двумя индексами $m \in \mathbb{N}$, $q \in \mathbb{Z}$, и их нужно расставить в порядке возрастания с целью образовать монотонную последовательность

$$0 \leq \Lambda_1^0(\eta) \leq \Lambda_2^0(\eta) \leq \dots \leq \Lambda_n^0(\eta) \leq \dots \rightarrow +\infty.$$

В следующих разделах произведем асимптотический анализ лакун G_1^ε и G_2^ε в двух ситуациях

$$\mu_2 = \pi^2 D^{-2} > \pi^2 \quad \Leftrightarrow \quad D < 1 \quad (3.7)$$

и

$$\mu_2 = \pi^2 D^{-2} < 4\pi^2 \quad \Leftrightarrow \quad D > 1/2. \quad (3.8)$$

Соответствующие фрагменты фермы Υ_N^0 получаются из изображенных на рис. 5, а и б, смещением вниз до оси абсцисс. Всюду далее, за исключением п. 5 §3, подразумеваем именно такое преобразование этого и других рисунков. В п. 3 §3 на ширину D из (3.1) будет в дополнение к неравенству (3.8) наложено ограничение сверху.

3.2. Лакуна G_1^ε в спектре задачи Неймана. Пусть выполнено соотношение (3.7). Следуя работе [16], введем величину ψ , описывающую отклонение параметра Флоке η от ординаты π узла $P_0^1 = (\pi, \pi^2)$, который отмечен значком \circ на рис. 5, а,

$$\eta = \pi + \varepsilon\psi. \quad (3.9)$$

Для собственных чисел и собственных функций модельной задачи на ячейке

$$\varpi^\varepsilon = \{(y, z) : z \in (0, 1), -\varepsilon h_-(z) < y < D + \varepsilon h_+(z)\}, \quad (3.10)$$

а именно, уравнения (1.10), снабженного условиями периодичности (1.12) и краевыми условиями

$$\partial_{\nu^\varepsilon} U^\varepsilon(\eta; y, z) + i\eta \nu_d^\varepsilon(y, z) U^\varepsilon(\eta; y, z) = 0, \quad (y, z) \in \gamma^\varepsilon, \quad (3.11)$$

примем асимптотические анзацы

$$\Lambda_p^\varepsilon(\pi + \psi) = \Lambda_p^0(\pi) + \varepsilon \Lambda_p'(\psi) + \dots, \quad (3.12)$$

$$U_p^\varepsilon(\eta; y, z) = \mathcal{U}_p^0(\psi; y, z) + \varepsilon \mathcal{U}'(\psi; y, z) + \dots \quad (3.13)$$

При этом $p = 1, 2$, $\Lambda_1^0(\pi) = \Lambda_2^0(\pi) = \pi^2$,

$$\mathcal{U}_p^0(\psi; y, z) = (a_p^+(\psi) + e^{-2\pi i z} a_p^-(\psi)) W_1(y), \quad (3.14)$$

а поправки $\Lambda'_p(\psi)$ и $\mathcal{U}'_p(\psi; \cdot)$ подлежат определению вместе со столбцом $a_p(\psi) = (a_p^+(\psi), a_p^-(\psi))$ коэффициентов линейной комбинации (3.14) собственных функций $D^{-1/2}$ и $D^{-1/2}e^{-2\pi iz}$ задачи (2.9), (3.5), (2.11) с параметрами $\eta = \pi$ и $\Lambda^0(\pi) = \pi^2$.

Подставим анзацы (3.12) и (3.13) в соотношения (1.10), (3.11), (1.12) с параметром (3.9) и соберем коэффициенты при ε . Из уравнения (1.10) выводим, что

$$\begin{aligned} & -\Delta_y \mathcal{U}'_p(\psi; y, z) - (\partial_z + i\pi)^2 \mathcal{U}'_p(\psi; y, z) - \pi^2 \mathcal{U}'_p(\psi; y, z) \\ & = 2i\psi(\partial_z + i\pi) \mathcal{U}_p^0(\psi; y, z) + \Lambda'_p(\psi) \mathcal{U}_p^0(\psi; y, z), \quad (y, z) \in \varpi^0. \end{aligned} \quad (3.15)$$

Заметив, что единичный вектор внешней нормали на искривленных основаниях

$$\begin{aligned} \gamma_+^\varepsilon &= \{(y, z) : z \in (0, 1), \quad y = D + \varepsilon h_+(z)\}, \\ \gamma_-^\varepsilon &= \{(y, z) : z \in (0, 1), \quad y = -\varepsilon h_-(z)\} \end{aligned}$$

ячейки (3.10) приобретает вид

$$\nu^\varepsilon(z) = (1 + \varepsilon^2 |\partial_z h_\pm(z)|^2)^{-1/2} (\pm 1, -\varepsilon \partial_z h_\pm(z)), \quad (3.16)$$

при помощи формулы Тейлора по переменной y , примененной к функции $\mathcal{U}_p^0(\psi; \cdot)$, находим, что

$$\begin{aligned} & \partial_{\nu^\varepsilon} U_p^\varepsilon(\eta; D + \varepsilon h_+(z), z) = \partial_y \mathcal{U}_p^0(\psi; D + \varepsilon h_+(z), z) \\ & + \varepsilon (\partial_y \mathcal{U}'_p(\psi; D + \varepsilon h_+(z), z) - \partial_z h_+(z) \cdot \partial_z \mathcal{U}_p^0(\psi; D + \varepsilon h_+(z), z)) + O(\varepsilon^2) \\ & = \partial_y \mathcal{U}_p^0(\psi; D, z) + \varepsilon (\partial_y \mathcal{U}'_p(\psi; D, z) - \partial_z h_+(z) \cdot \partial_z \mathcal{U}_p^0(\psi; D, z) \\ & \quad + h_+(z) \partial_y^2 \mathcal{U}_p^0(\psi; D, z)) + O(\varepsilon^2). \end{aligned} \quad (3.17)$$

Учитывая также второй член в левой части (3.11)

$$\begin{aligned} & i(\pi + \varepsilon\psi) \nu_2^\varepsilon(z) U^\varepsilon(\pi + \varepsilon\psi; D + \varepsilon h_+(z), z) \\ & = -\varepsilon i \pi \partial_z h_+(z) \cdot \mathcal{U}_p^0(\psi; D, z) + O(\varepsilon^2), \end{aligned} \quad (3.18)$$

составляем краевое условие на верхнем основании γ_+^0 ячейки ϖ^0

$$\begin{aligned} \partial_y \mathcal{U}'_p(\psi; D, z) &= -h_+(z) \partial_y^2 \mathcal{U}_p^0(\psi; D, z) \\ &+ \partial_z h_+(z) (\partial_z + i\pi) \mathcal{U}_p^0(\psi; D, z), \quad z \in (0, 1). \end{aligned} \quad (3.19)$$

Похожие выкладки дают такое краевое условие на нижнем основании γ_-^0 :

$$\begin{aligned} -\partial_y \mathcal{U}'_p(\psi; 0, z) &= -h_-(z) \partial_y^2 \mathcal{U}'_p(\psi; 0, z) \\ &\quad + \partial_z h_-(z) (\partial_z + i\pi) \mathcal{U}'_p(\psi; 0, z), \quad z \in (0, 1). \end{aligned} \quad (3.20)$$

Условия периодичности (1.12) без изменений переносятся на функцию \mathcal{U}'_p , т.е.

$$\mathcal{U}'_p(\psi; y, 0) = \mathcal{U}'_p(\psi; y, 1), \quad \partial_z \mathcal{U}'_p(\psi; y, 0) = \partial_z \mathcal{U}'_p(\psi; y, 1), \quad y \in \omega. \quad (3.21)$$

Полученная задача (3.15), (3.19)–(3.21) является самосопряженной, а значит, альтернатива Фредгольма дает два условия ее разрешимости. Наиболее простой способ обработать эти условия состоит в следующем: предположим, что решение найдено, и подставим его вместе с собственными функциями задачи в формулу Грина на ячейке ϖ^0 – полученные таким образом два равенства суть ничто иное как искомые условия разрешимости.

Первая собственная функция W_1 приводит к соотношению

$$\begin{aligned} \Lambda'_p(\psi) \int_{\varpi^0} W_1 \mathcal{U}'_p dx &= - \int_{\varpi^0} W_1 (\partial_y^2 + (\partial_z + i\pi)^2 + \pi^2) \mathcal{U}'_p dx \\ &\quad - 2i\psi \int_{\varpi^0} W_1 (\partial_z + i\pi) \mathcal{U}'_p dx \\ &= -2i\psi \int_{\varpi^0} W_1 (\partial_z + i\pi) \mathcal{U}'_p dx \\ &\quad - \sum_{\pm} \int_0^1 W_1 (-h_{\pm} \partial_y^2 \mathcal{U}'_p + \partial_z h_{\pm} \cdot (\partial_z + i\pi) \mathcal{U}'_p) dz. \end{aligned} \quad (3.22)$$

Принимая во внимание выражения (3.14) и (3.4) для \mathcal{U}_p^0 и W_1 соответственно, преобразуем равенство (3.22) к виду

$$\begin{aligned}\Lambda'_p(\psi)a_p^+(\psi) &= 2\pi\psi \int_0^1 (a_p^+(\psi) - e^{-2\pi iz}a_p^-(\psi)) dz \\ &\quad - i\frac{\pi}{D} \int_0^1 (a_p^+(\psi) - e^{-2\pi iz}a_p^-(\psi)) \partial_z h_{\oplus}(z) dz \\ &= 2\pi\psi a_p^+(\psi) - \frac{2\pi^2}{D} \overline{H_{\oplus}^{(1)}} a_p^-(\psi),\end{aligned}\quad (3.23)$$

где

$$h_{\oplus}(z) = h_+(z) + h_-(z), \quad H_{\oplus}^{(q)} = \int_0^1 e^{2\pi iqz} h_{\oplus}(z) dz. \quad (3.24)$$

Оперируя со второй собственной функцией $e^{-2\pi iz}W_1$ по прежней схеме, выводим еще одно соотношение

$$\Lambda'_p(\psi)a_p^-(\psi) = -2\pi\psi a_p^-(\psi) + \frac{2\pi^2}{D} H_{\oplus}^{(1)} a_p^+(\psi). \quad (3.25)$$

Характеристическое уравнение линейной алгебраической системы (3.23), (3.25) с эрмитовой (2×2) -матрицей $Q(\psi; \Lambda'_p(\psi))$ имеет вид

$$0 = \det Q(\psi; \Lambda'_p(\psi)) = -\Lambda'_p(\psi)^2 + 4\pi^2\psi^2 + 4\pi^4 D^{-2} |H_{\oplus}^{(1)}|^2,$$

а значит, асимптотические поправки в анзаце (3.12) выглядят так:

$$\Lambda'_{1,2}(\psi) = \pm 2\pi \sqrt{\psi^2 + \pi^2 D^{-2} |H_{\oplus}^{(1)}|^2}.$$

При этом индексу 1 отвечает знак минус, а индексу 2 – знак плюс.

Асимптотические представления собственных чисел $\Lambda_1^\varepsilon(\pi + \varepsilon\psi)$ и $\Lambda_2^\varepsilon(\pi + \varepsilon\psi)$ обосновываются по стандартной схеме (см., например, статью [16]) – переход к крайевым условиям Неймана не требует каких-либо новых соображений или вычислений. Приведем результат.

Теорема 3.1. Пусть выполнены требования $D < 1$ и $H_{\oplus}^{(1)} \neq 0 \in \mathbb{C}$ (см. соотношения (3.7) и (3.24)). Тогда найдутся такие положительные величины ε_1 , ψ_1 , ρ_1 и c_1 , что при $\varepsilon \in (0, \varepsilon_1)$ и $|\psi| < \psi_1^{-1/2}$ в ρ_1 -окрестности точки π^2 расположены в точности два собственных числа $\Lambda_1^\varepsilon(\pi + \varepsilon\psi)$ и $\Lambda_2^\varepsilon(\pi + \varepsilon\psi)$ задачи (1.10), (3.11), (1.12). Оба

собственных числа простые, и для них верны асимптотические формулы

$$\begin{aligned} \left| \Lambda_1^\varepsilon(\pi + \varepsilon\psi) - \pi^2 + 2\pi\varepsilon\sqrt{\psi^2 + \pi^2 D^{-2}} \left| H_\oplus^{(1)} \right|^2 \right| &\leq c_1 \varepsilon^{3/2}, \\ \left| \Lambda_2^\varepsilon(\pi + \varepsilon\psi) - \pi^2 - 2\pi\varepsilon\sqrt{\psi^2 + \pi^2 D^{-2}} \left| H_\oplus^{(1)} \right|^2 \right| &\leq c_1 \varepsilon^{3/2}. \end{aligned} \quad (3.26)$$

Формулы (3.26) показывают, что в окрестности узла $P_0^1 = (\pi, \pi^2)$ графики функций (1.15) при $n = 1, 2$ ведут себя так, как продемонстрировано на рис. 6, а. Строгое обоснование непустоты лакуны проводится аналогично работе [16] (см. также публикации [17, 18, 20] и др.). Сформулируем результат.

Следствие 3.1. *В условиях теоремы 3.1 раскрыта лакуна G_1^ε , а ее концы удовлетворяют оценкам*

$$\left| g_{1\pm}^\varepsilon - \pi^2 \mp 2\varepsilon\pi^2 D^{-2} \left| H_\oplus^{(1)} \right| \right| \leq c_1 \varepsilon^{3/2}.$$

Подчеркнем, что точка π^2 попадает вовнутрь лакуны.

3.3. Лакуна G_2^ε в спектре задачи Неймана. В предположении (3.8) изучим лакуну, изображенную на рис. 6, с, и возникающую вследствие расщепления узлов $P_\pm^2 = (\pi \pm (2D)^{-2}, \pi^2(1 + (2D)^{-2})^2)$ фермы Υ^0 , отмеченных значком \circ на рис. 5, с. Для того чтобы возможная лакуна G_2^ε не была перекрыта соседним спектральным сегментом (ср. рис. 7, b), нужно предположить, что

$$\begin{aligned} \pi^2 \left(1 + \frac{1}{4D^2} \right)^2 &\leq \mu_3 = \frac{4\pi^2}{D^2} \\ \Leftrightarrow D &\in \left[\sqrt{\frac{7}{4} - \sqrt{3}}, \sqrt{\frac{7}{4} + \sqrt{3}} \right] =: [D_-, D_+]. \end{aligned} \quad (3.27)$$

Учитывая еще ограничение (3.8), считаем, что

$$D \in \left(\frac{1}{2}, \sqrt{\frac{7}{4} + \sqrt{3}} \right]. \quad (3.28)$$

Ввиду упомянутой в конце п. 2 §1 симметрии графиков функций (1.15) относительно прямой $\{\eta = \pi\}$ достаточно рассмотреть только один из узлов, для определенности P_-^2 . Введем параметр отклонения ψ , т.е. положим

$$\eta = \pi \left(1 - \frac{1}{4D^2} \right) + \varepsilon\psi =: \eta_- + \varepsilon\psi. \quad (3.29)$$

Назначим аналогичный (1.15) асимптотический анзац

$$\Lambda_p^\varepsilon(\eta_- + \varepsilon\psi) = \Lambda_p^0 + \varepsilon\Lambda_p'(\psi) + \dots \quad (3.30)$$

для собственных чисел $\Lambda_2^\varepsilon(\eta)$ и $\Lambda_3^\varepsilon(\eta)$, расположенных в окрестности ординаты $\Lambda_p^0 = \pi^2(1 + (2D)^{-2})^2$ узлов P_\pm^2 . Сохраним анзац (3.13) с индексами $p = 2, 3$ для соответствующих собственных функций, но в качестве главного асимптотического члена возьмем линейную комбинацию

$$\mathcal{U}_p^0(\psi; y, z) = a_p^1(\psi)e^{-2\pi iz}W_1(y) + a_p^2(\psi)W_2(y) \quad (3.31)$$

собственных функций задачи (2.9), (3.5), (2.11) с параметрами $\eta = \eta_-$ и $\Lambda(\eta) = \Lambda_p^0$, построенных по собственным функциям (3.4) задачи (3.3).

Задача для определения поправок $\mathcal{U}_p'(\psi; \cdot)$ и $\Lambda_p'(\psi)$ находится по прежней схеме. Уравнение (3.15) теперь приобретает вид

$$\begin{aligned} & -\partial_y^2 \mathcal{U}_p'(\psi; y, z) - (\partial_z + i\eta_-)^2 \mathcal{U}_p'(\psi; y, z) - \Lambda_p^0 \mathcal{U}_p'(\psi; y, z) \\ & = 2i\psi(\partial_z + i\eta_-) \mathcal{U}_p^0(\psi; y, z) + \Lambda_p'(\psi) \mathcal{U}_p^0(\psi; y, z), \quad (y, z) \in \varpi^0. \end{aligned} \quad (3.32)$$

Формулы (3.16), (3.17), а также (3.18) с заменой $\pi \mapsto \eta_-$ обеспечивают краевые условия

$$\begin{aligned} \partial_y \mathcal{U}_p'(\psi; D, z) &= -h_+(z) \partial_y^2 \mathcal{U}_p^0(\psi; D, z) + \partial_z h_+(z) (\partial_z + i\eta_-) \mathcal{U}_p^0(\psi; D, z), \\ -\partial_y \mathcal{U}_p'(\psi; 0, z) &= -h_-(z) \partial_y^2 \mathcal{U}_p^0(\psi; 0, z) + \partial_z h_-(z) (\partial_z + i\eta_-) \mathcal{U}_p^0(\psi; 0, z), \\ & z \in (0, 1) \end{aligned} \quad (3.33)$$

а условия периодичности (3.21) остаются без изменений. Обработаем условия разрешимости задачи (3.32), (3.33), (3.21). Первое (с собственной функцией $\mathcal{W}_1(z) = e^{-2\pi iz}W_1$; см. определения (3.31) и (3.4))

равносильно соотношению

$$\begin{aligned}
 \Lambda'_p(\psi)a_p^1(\psi) &= \Lambda'_p(\psi) \int_{\varpi^0} \overline{\mathcal{W}_1} \mathcal{U}_p^0 dy dz \\
 &= -2i\psi \int_{\varpi^0} \overline{\mathcal{W}_1} (\partial_z + i\eta_-) \mathcal{U}_p^0 dy dz \\
 &\quad - \sum_{\pm} \int_0^1 \overline{\mathcal{W}_1} (-h_{\pm} \partial_y^2 \mathcal{U}_p^0 + \partial_z h_{\pm} \cdot (\partial_z + i\eta_-) \mathcal{U}_p^0) dz \quad (3.34) \\
 &= 2\psi(\eta_- - 2\pi)a_p^1(\psi) + \sqrt{2}D^{-1}(\pi^2 D^{-2} + 2\pi\eta_-)H_{\ominus}^{(1)}a_p^2(\psi),
 \end{aligned}$$

в котором

$$h_{\ominus}(z) = h_+(z) - h_-(z), \quad H_{\ominus}^{(q)} = \int_0^1 e^{2\pi i q z} h_{\ominus}(z) dz. \quad (3.35)$$

Формула Грина со второй собственной функцией $\mathcal{W}_2(y) = W_2(y)$ (см. определения (3.31) и (3.4)) порождает еще одно уравнение

$$\begin{aligned}
 \Lambda'_p(\psi)a_p^2(\psi) &= 2\psi\eta_-a_p^2(\psi) + 2\pi^2 D^{-3}H_{\oplus}^{(0)}a_p^2(\psi) \\
 &\quad - \sqrt{2}D^{-1}2\pi(\eta_- - 2\pi)\overline{H_{\ominus}^{(1)}}a_p^1(\psi). \quad (3.36)
 \end{aligned}$$

Поскольку в силу соотношения (3.29) справедливо равенство

$$\pi^2 D^{-2} + 2\pi\eta_- = -2\pi(\eta_- - 2\pi),$$

матрица системы алгебраических уравнений (3.34), (3.36) приобретает вид

$$\begin{pmatrix} B_{11} + \psi T_1 & B_{12} \\ B_{21} & B_{22} + \psi T_2 \end{pmatrix}, \quad (3.37)$$

где

$$\begin{aligned}
 B_{11} &= 0, \quad B_{22} = 2\frac{\pi^2}{D^3}H_{\oplus}^{(0)}, \quad B_{21} = \overline{B_{12}} = \frac{\sqrt{2}}{D}2\pi(2\pi - \eta_-)H_{\ominus}^{(1)}, \\
 T_1 &= 2(\eta_- - 2\pi) < 0, \quad T_2 = 2\eta_- > 0. \quad (3.38)
 \end{aligned}$$

Собственные числа матрицы (3.37) находятся по формуле

$$\begin{aligned} \Lambda_{\pm}(\psi) &= \frac{1}{2}(B_{22} + B_{11} + \psi(T_2 + T_1)) \\ &\pm \frac{1}{2}\sqrt{(B_{22} - B_{11} + \psi(T_2 - T_1))^2 + 4|B_{12}|^2}. \end{aligned} \quad (3.39)$$

Несложный анализ выражений (3.39) показывает, что при ограничениях

$$|T_2 - T_1| > |T_2 + T_1|, \quad |B_{12}| \neq 0 \quad (3.40)$$

справедливо соотношение

$$\max_{\psi \in \mathbb{R}} \Lambda_{-}(\psi) < \min_{\psi \in \mathbb{R}} \Lambda_{+}(\psi), \quad (3.41)$$

которое далее обеспечит раскрытие лакуны. Подчеркнем, что первое неравенство (3.40) вытекает из формул (3.39), а второе будет затребовано.

Подстановка в правую часть (3.39) величин (3.38) доставляет поправки $\Lambda'_3(\psi) = \Lambda'_+(\psi)$ и $\Lambda'_2(\psi) = \Lambda'_-(\psi)$ в асимптотических анзацах (3.30). Ссылаясь по-прежнему на работы [16, 18, 19] по поводу оправдания асимптотик, сформулируем результат.

Теорема 3.2. Пусть выполнены требования $D \in (1/2, D_+)$ и $H_{\ominus}^1 \neq 0 \in \mathbb{C}$ (см. определения (3.35) и (3.27)). Тогда найдутся такие положительные величины ε_2 , ψ_2 , ρ_2 и c_2 , что при $\varepsilon \in (0, \varepsilon_2)$ и $|\psi| < \psi_2 \varepsilon^{-1/2}$ в ρ_2 -окрестности точки $\pi^2(1 + (2D)^{-2})^2$ расположены в точности два собственных числа $\Lambda_2^{\varepsilon}(\pi(1 - (2D)^{-2}) + \varepsilon\psi)$ и $\Lambda_3^{\varepsilon}(\pi(1 - (2D)^{-2}) + \varepsilon\psi)$ задачи (1.10), (3.11), (1.12). Оба собственных

числа простые, и для них верны асимптотические формулы

$$\begin{aligned}
 & \left| \Lambda_2^\varepsilon \left(\pi \left(1 - \frac{1}{4D^2} \right) + \varepsilon\psi \right) - \pi^2 \left(1 + \frac{1}{4D^2} \right)^2 - \varepsilon \left(\frac{\pi^2}{D^3} H_\oplus^{(0)} - \frac{\pi\psi}{2D^2} \right. \right. \\
 & \left. \left. - \sqrt{\left(\frac{\pi^2}{D^3} H_\oplus^{(0)} - 2\pi\psi \right)^2 + \frac{8\pi^4}{D^2} \left(1 + \frac{1}{4D^2} \right)^2 |H_\ominus^{(1)}|^2} \right) \right| \leq C_2 \varepsilon^{3/2}, \\
 & \left| \Lambda_2^\varepsilon \left(\pi \left(1 - \frac{1}{4D^2} \right) + \varepsilon\psi \right) - \pi^2 \left(1 + \frac{1}{4D^2} \right)^2 - \varepsilon \left(\frac{\pi^2}{D^3} H_\oplus^{(0)} - \frac{\pi\psi}{2D^2} \right. \right. \\
 & \left. \left. + \sqrt{\left(\frac{\pi^2}{D^3} H_\oplus^{(0)} - 2\pi\psi \right)^2 + \frac{8\pi^4}{D^2} \left(1 + \frac{1}{4D^2} \right)^2 |H_\ominus^{(1)}|^2} \right) \right| \leq C_2 \varepsilon^{3/2}.
 \end{aligned} \tag{3.42}$$

Напомним, что формулы (3.42) сохраняются и для собственных чисел $\Lambda_2^\varepsilon(\pi(1 + (2D)^{-2}) + \varepsilon\psi)$ и $\Lambda_3^\varepsilon(\pi(1 + (2D)^{-2}) + \varepsilon\psi)$, расположенных симметрично относительно линии $\{\eta = \pi\}$ на графиках, изображенных на рис. 6, а.

Теорема 3.2 не обслуживает верхнюю грань $D_+ = \sqrt{\frac{7}{4} + \sqrt{3}}$ сегмента (3.28), и для раскрытия лакуны требуется воспользоваться формулой Адамара [26] для возмущения собственного числа

$$\Lambda_4^0(0) = \mu_3(D_*) = \frac{4\pi^2}{D_+^2} = \pi^2 \left(1 + \frac{1}{4D_+^2} \right)^2$$

совпадающего с ординатой узлов P_\pm^2 . Вывод асимптотики

$$\Lambda_3^\varepsilon(0) = \frac{\pi^2}{D_+^2} + \varepsilon \frac{8\pi^2}{D_+^3} H_\oplus^{(0)} + O(\varepsilon^2), \tag{3.43}$$

весьма прост (ср. замечание 2.1). В случае

$$H_\oplus^{(0)} > 0 \tag{3.44}$$

возмущение (3.43) приподнимает график $\Lambda_4^0(\eta) = \mu_3(D_*) + \eta^2$ и тем самым не препятствует раскрытию лакуны

Явные выражения для максимума и минимума (3.41) выглядят достаточно громоздко, и поэтому асимптотику концов лакуны G_2^ε укажем в упрощенном случае.

Следствие 3.2. 1) В условиях теоремы 3.2 лагуна G_2^ε раскрыта. Подбором профильных функций h_\pm можно добиться раскрытия лагуны и при $D = D_+$.

2) Пусть $D < D_+$ и $H_\oplus^{(0)} = 0$, т.е. среднее суммы $h_+ + h_-$ по отрезку $(0, 1)$ равно нулю и площади ячеек ϖ^0 и ϖ^ε совпадают. Тогда концы лагуны G_2^ε удовлетворяют оценкам

$$\left| g_{2\pm}^\varepsilon - \pi^2 \left(1 + \frac{1}{4D^2} \right)^2 \mp 2\sqrt{2} \frac{\pi^2}{D} \varepsilon \left(1 + \frac{1}{4D^2} \right) |H_\ominus^1| \right| \leq C_2 \varepsilon^{3/2}.$$

В следствии 3.2 (2) лагуна G_2^ε содержит ординату $\pi^2(1 + (2D)^{-2})^2$ узлов P_\pm^2 .

Если возмущение полосы (3.1) происходит симметрично, а именно при помощи профильных функций $h_+ = h_-$, основное требование $|H_\ominus^{(1)}| \neq 0$ в теореме 3.2 и следствии 3.2 нарушено, и получить информацию о лагуне без вычисления младших членов асимптотики собственных чисел невозможно. Вопрос о ее существовании остается открытым.

3.4. 4. О раскрытии лагун в спектре задачи Неймана. Спектр задачи Неймана в полосе $\widehat{\Omega}^0$ единичной ширины занимает луч $\mathbb{R}_+ = [0, +\infty)$. Зафиксируем число $M \in (0, \pi^2)$. Заменой координат

$$(\widehat{y}, \widehat{z}) \mapsto (y, z) = (D\widehat{y}, D\widehat{z}) \quad (3.45)$$

полоса $\widehat{\Omega}^0$ трансформируется в полосу (3.1), а точка M переводится в точку $D^{-2}M$. Положив $D = \pi^{-1}M^{1/2} \in (0, 1)$, совмещаем $D^{-2}M$ с точкой π^2 , вокруг которой по теореме 3.1 при условии $|H_\oplus^{(1)}| \neq 0$ (см. определение (3.24)) образуется лагуна G_1^ε .

Пусть теперь $M \in (\pi^2, 4\pi^2]$. Положим

$$D = \frac{1}{\sqrt{2}} \sqrt{\frac{M}{\pi^2} - \frac{1}{2} + \sqrt{\frac{M}{\pi^2} \left(\frac{M}{\pi^2} - 1 \right)}} \in \left(\frac{1}{2}, \sqrt{\frac{7}{4} + \sqrt{3}} \right],$$

обеспечив тем самым требование (3.28), а также равенство $D^{-2}M = (1 + (2D)^{-2})^2$. Теорема 3.2 и следствие 3.2 предоставляет требования к величинам $H_\ominus^{(1)}$ и $H_\oplus^{(0)}$ из формул (3.35) и (3.24), при которых полученная точка попадает вовнутрь лагуны G_2^ε , а значит, точка M

содержится в лакуне

$$\widehat{G}_2^\varepsilon = \{\lambda : D^{-2}\lambda \in G_2^\varepsilon\}. \quad (3.46)$$

Осталось рассмотреть точки $M = 0$ и $M = \pi^2$. Нижней гранью спектра задачи Неймана в периодической полосе всегда служит начало координат, т.е. освободить точку $M = 0$ от спектра нельзя. В случае $M = \pi^2$ в дополнение к теореме 3.1, сохраняющей силу и при $D = 1$, укажем асимптотическую формулу Адамара [26] (см. замечание 2.1)

$$\Lambda_2^\varepsilon(0) = \pi^2 \left(1 - \varepsilon H_\oplus^{(0)}\right) + O(\varepsilon^2)$$

для второго собственного числа задачи (1.10), (3.11), (1.12) с параметром $\eta = 0$. Поскольку благодаря оценкам (3.26) при $D = 1$ между графиками функций (1.15) с $n = 1$, образуется зазор

$$\left(\pi^2 \left(1 - 2\varepsilon |H_\oplus^{(1)}|\right) + O(\varepsilon^2), \pi^2 \left(1 + 2\varepsilon |H_\oplus^{(1)}|\right) + O(\varepsilon^2)\right),$$

при условии $H_\oplus^{(0)} < 0$ и $|H_\oplus^{(1)}| \neq 0$ лакуна G_1^ε оказывается раскрытой и включает точку $M = \pi^2$. При этом период возмущения берется единичным.

Итак, вокруг любой точки

$$M \in (0, 4\pi^2] \quad (3.47)$$

удается открыть лакуну путем подбора периода и формы возмущения сторон единичной полосы. Подчеркнем, что $\widehat{\mu}_1 = 0$ и

$$\pi^2 \left(1 + \frac{1}{4D_+^2}\right)^2 = \frac{4\pi^2}{D_+^2} = \mu_3 = \frac{\widehat{\mu}_3}{D_+^2},$$

т.е. полуинтервал (3.47) совпадает с полуинтервалом (2.31).

Замечание 3.1. Если $D < 1/2$ и $\mu_2 > \mu_1 + 4\pi^2 = 4\pi^2$, то по прежней схеме можно открыть лакуну G_2^ε вокруг точки $4\pi^2$ (см. рис. 4, b и c). Лакуна (3.46) в спектре задачи Неймана на единичной полосе с подходящим периодическим возмущением образуется вокруг точки $M = 4\pi^2 D^2 < \pi^2$, т.е. расширить участок (3.47) не удастся. Такой же эффект наблюдается в случае $D < 1/3$ и $\mu_2 > \mu_1 + 9\pi^2 = 9\pi^2$: третья лакуна на рис. 4, c, трансформируется в лакуну $\widehat{G}_3^\varepsilon$ вокруг точки $M = 9\pi^2 D^2 < \pi^2$.

3.5. Лакуны в спектре задачи Дирихле. Рассмотрим задачу Дирихле (2.1) в полосе (3.1). Собственные пары соответствующей модельной задачи (2.1) на сечении полосы Π – отрезке $\omega = (0, D)$,

$$-\frac{d^2W}{dy^2}(y) = \mu W(y), \quad y \in (0, D), \quad W(0) = W(D) = 0,$$

приобретают вид

$$\mu_n = \frac{\pi^2}{D^2}n^2, \quad W_n(y) = \sqrt{\frac{2}{D}} \sin\left(\frac{\pi}{D}ny\right), \quad n \in \mathbb{N}. \quad (3.48)$$

Все собственные числа простые, а луч $[\pi^2 D^{-2}, +\infty)$ – непрерывный спектр задачи (2.1). Кроме того, условие (2.14) означает, что

$$D > \frac{\sqrt{3}}{2}, \quad (3.49)$$

а условия (2.15) и (2.16) превращаются соответственно в такие:

$$D < \sqrt{3} \quad \text{и} \quad D = \sqrt{3}. \quad (3.50)$$

Спектр задачи Дирихле в полосе $\widehat{\Omega}^0$ единичной ширины – луч $[\pi^2, +\infty)$. Зафиксируем точку $M \in (\pi^2, 4\pi^2)$. При замене (3.45) эта точка трансформируется в точку $D^{-2}M$ спектра задачи (2.1) в полосе (3.1) и при

$$D = \pi^{-1}(M - \pi^2)^{1/2} < \sqrt{3}$$

(см. первое ограничение (3.50)) совпадает с ординатой узла (2.19). Полученная в статье [16] формула (2.18) для концов лакуны G_1^ε конкретизируется согласно (3.48) следующим образом:

$$g_{1\pm}^\varepsilon = \pi^2 + \frac{\pi^2}{D^2} + \varepsilon \frac{2\pi^2}{D^3} \left(-H_\oplus^0 \pm |H_\oplus^{(1)}| \right) + O(\varepsilon^2) \quad (3.51)$$

(ср. определения (2.17) и (3.24), (3.48)). Как уже упоминалось в п. 3 §2, нетрудно добиться включения $\pi^2(1 + D^{-2}) \in G_1^\varepsilon$, наложив всего лишь одно условие

$$|H_\oplus^{(0)}| < |H_\oplus^{(1)}| \quad (3.52)$$

на три коэффициента Фурье функции $h_\oplus = h_+ + h_-$. Если $H_\oplus^{(0)} = 0$ (аннулировали один коэффициент и одновременно сохранили площадь $\text{mes}_2 \varpi^0 = D$ у ячейки ϖ^ε), то достаточно, чтобы хотя бы один из коэффициентов Фурье при $\sin(\pi z)$ или $\cos(\pi z)$ был отличен от нуля.

Кратко опишем способ вывода формул (3.51). Годятся асимптотические анзацы (3.12) и (3.13), в которых $p = 1, 2$, а главные члены

заданы формулами $\Lambda_p^0(\pi) = \pi^2(1 + D^{-2})$ и (3.14), причем множитель $W_1(y)$ берется из списка (3.48). Задача для поправок $\mathcal{U}'_p(\psi; \cdot)$ и $\Lambda'_p(\psi)$ формируется из уравнения (3.15) и условий периодичности (3.21), а также неоднородных условий Дирихле

$$\begin{aligned} \mathcal{U}'_p(\psi; D, z) &= -h_+(z) \partial_y \mathcal{U}_p^0(\psi; D, z), \\ \mathcal{U}'_p(\psi; 0, z) &= h_-(z) \partial_y \mathcal{U}_p^0(\psi; 0, z), \quad z \in (0, 1). \end{aligned} \quad (3.53)$$

Применив формулу Грина аналогично выкладке (3.22), получим следующие два условия разрешимости задачи (3.15), (3.53), (3.21):

$$\begin{aligned} \Lambda'_p(\psi) a_p^\pm(\psi) &= -2i\psi \int_{\infty^0} \overline{\mathcal{W}_\pm} (\partial_z + i\pi) \mathcal{U}_p^0 dx - \sum_{\pm} \int_0^1 \overline{\partial_y \mathcal{W}_\pm} h_\pm \partial_y \mathcal{U}_p^0 dz. \end{aligned} \quad (3.54)$$

При этом $\mathcal{W}_+(y, z) = W_1(y)$ и $\mathcal{W}_-(y, z) = e^{-2\pi iz} W_1(y)$ – собственные функции задачи в прямоугольнике $(0, D) \times (0, 1)$, составленной из уравнения (2.9) с параметрами $\eta = \pi$, $\Lambda^0(\pi) = \pi^2(1 + D^{-2})$, условий периодичности (2.11) и условий Дирихле

$$U^0(\eta; D, z) = U^0(\eta; 0, z) = 0, \quad z \in (0, 1).$$

Ставшие привычными вычисления переделывают соотношения (3.54) в систему двух алгебраических уравнений

$$\begin{aligned} \Lambda'_p(\psi) a_p^+(\psi) &= 2\pi\psi a_p^+(\psi) - \frac{2\pi^2}{D^3} \left(H_\oplus^{(0)} a_p^+(\psi) + \overline{H_\oplus^{(1)}} a_p^-(\psi) \right), \\ \Lambda'_p(\psi) a_p^-(\psi) &= -2\pi\psi a_p^-(\psi) - \frac{2\pi^2}{D^3} \left(H_\oplus^{(1)} a_p^+(\psi) + H_\oplus^{(0)} a_p^-(\psi) \right). \end{aligned}$$

Решая эту систему, находим поправки

$$\Lambda'_{1,2}(\psi) = -\frac{2\pi^2}{D^3} H_\oplus^{(0)} \pm 2\pi \sqrt{\frac{\pi^2}{D^6} |H_\oplus^{(1)}|^2 + \psi^2} \quad (3.55)$$

в анзаце (3.12) для собственных чисел, а оценка асимптотического остатка в котором вытекает из результатов [16]. Величины (3.55) с $\psi = 0$ как раз и фигурируют множителями при ε в соотношениях (3.51).

Теперь примем ограничение (3.49) и рассмотрим лакуну G_2^5 , найденную в работе [17] и появляющуюся в результате расщепления узлов

(2.22), которые в силу формул (3.48) принимают вид

$$P_{\pm}^2 = \left(\pi \left(1 \pm \frac{3}{4D^2} \right), \pi^2 \left(1 + \frac{5}{2D^2} + \frac{9}{16D^2} \right) \right). \quad (3.56)$$

Для того чтобы не случилось перекрытие лакуны (рис. 7), нужно соблюсти неравенство

$$\pi^2 \left(1 + \frac{5}{2D^2} + \frac{9}{16D^2} \right) \leq \frac{9\pi^2}{D^4},$$

означающее, что

$$D^4 - \frac{13}{2}D^2 + \frac{9}{16} \leq 0 \quad \Leftrightarrow \quad D \in [D_-, D_+], \quad D_{\pm} = \sqrt{\frac{13}{4} \pm \sqrt{10}}.$$

Таким образом, поскольку $D_- < \sqrt{3}$, допустимы следующие значения ширины:

$$D \in \left(\sqrt{3}, \sqrt{\frac{13}{4} + \sqrt{10}} \right].$$

Поясним, как при условии $H_{\ominus}^{(1)} \neq 0 \in \mathbb{C}$ проверяется раскрытие лакуны. Достаточно рассмотреть окрестность точки $\eta_- = \pi(1 - 3(2D)^{-2})$, т.е. аналогично (3.29) положить $\eta = \eta_- + \varepsilon\psi$ и принять асимптотический анзац (2.15) с числом Λ_p^0 – ординатой узлов (3.56). В качестве главного члена асимптотики собственных функций $U_p^{\varepsilon}(\eta_- + \varepsilon\psi; \cdot)$, $p = 2, 3$, возьмем линейную комбинацию (3.31) собственных функций

$$\mathcal{W}_1(y, z) = e^{-2\pi iz} \sqrt{\frac{2}{D}} \sin\left(\frac{\pi}{D}y\right), \quad \mathcal{W}_2(y, z) = \sqrt{\frac{2}{D}} \sin\left(\frac{2\pi}{D}y\right)$$

задачи (2.9)–(2.11) в прямоугольнике $\varpi^0 = (0, D) \times (0, 1)$ с параметрами $\eta = \eta_-$ и $\Lambda^0(\eta) = \Lambda_p^0$. Поправочное слагаемое $\mathcal{U}'_p(\psi; \cdot)$ в анзаце (3.13) удовлетворяет дифференциальному уравнению (2.17), условию Дирихле (3.53) и условиям периодичности (3.21). Как и ранее, такая краевая задача имеет решение при выполнении двух равенств, которые при помощи формулы (3.54) с заменами $\pi \mapsto \eta_-$ и $\mathcal{W}_{\pm} \mapsto \mathcal{W}_q$ превращаются в систему двух линейных алгебраических уравнений с матрицей (3.37) и следующими ее ингредиентами:

$$4B_{11} = B_{22} = -\frac{2\pi^2}{D^3} H_{\oplus}^{(0)}, \quad B_{12} = \overline{B_{21}} = \frac{4\pi^2}{D^3} H_{\oplus}^{(1)}, \quad (3.57)$$

$$T_1 = -2\pi \left(1 + \frac{3}{4}D^{-2} \right), \quad T_2 = 2\pi \left(1 - \frac{3}{4}D^{-2} \right).$$

Собственные числа этой матрицы находятся по формуле (3.39) и приобретают вид

$$\Lambda'_p(\psi) = -5\frac{\pi^2}{D^2}H_{\oplus}^{(0)} + \frac{3\pi}{2D^2}\psi \pm \sqrt{\left(3\frac{\pi^2}{D^2}H_{\oplus}^{(0)} + 2\pi\psi\right)^2 + 16\frac{\pi^2}{D^6}\left|H_{\ominus}^{(1)}\right|^2},$$

причем индексу $p = 2$ отвечает знак минус, а индексу $p = 3$ — знак плюс. Поскольку $\frac{3}{2}\pi D^{-2} < 2\pi$ в силу ограничения (3.49), при условии $\left|H_{\ominus}^{(1)}\right| \neq 0$ выполнены требования (3.40), и в случае $D \in (\sqrt{3}, D_+)$ лакуна G_2^ε раскрыта, так как $\Lambda'_3(\psi_3) > \Lambda'_2(\psi_2)$ при всех $\psi_3, \psi_2 \in \mathbb{R}$. Например, в случае равенства $H_{\oplus}^{(0)} = 0$, сохраняющего площадь ячейки ϖ^ε , функции Λ'_3 и Λ'_2 достигают соответственно минимума $L' > 0$ и максимума $-L' < 0$ в точках

$$\psi_3 = -\frac{3}{2}\left(D^4 - \frac{9}{16}\right)^{-1}\frac{|H_{\ominus}^{(1)}|}{D^3} \quad \text{и} \quad \psi_2 = \frac{3}{2}\left(D^4 - \frac{9}{16}\right)^{-1}\frac{|H_{\ominus}^{(1)}|}{D^3}.$$

При этом концы лакуны G_2^ε удовлетворяют соотношению

$$g_{2\pm}^\varepsilon = \pi^2\left(1 + \frac{5}{2D^2} + \frac{9}{16D^4}\right) \pm \varepsilon L' + O(\varepsilon^2),$$

а значит, она содержит ординату $g_{2+}^0 = g_{2-}^0$ узлов (3.56).

Замечание 3.2. Как установлено в работе [17] для обсуждавшейся в §2 многомерной задачи Дирихле поправки в асимптотических разложениях (3.30) собственных чисел

$$\Lambda_p^\varepsilon(\pi - (2\pi)^{-1}(\mu_2 - \mu_1) + \varepsilon\psi), \quad p = 2, 3,$$

определяющих лакуну G_2^ε при расцеплении узла (2.22) в предположении (2.14), находятся при решении системы двух линейных алгебраических уравнений с матрицей (3.37), в которой

$$\begin{aligned} B_{11} &= -H_{11}^{(0)}, & B_{22} &= -H_{22}^{(0)}, & B_{12} &= \overline{B_{21}} = -H_{12}^{(1)}, \\ T_1 &= -2\pi - \frac{\mu_2 - \mu_1}{2\pi} < 0, & T_2 &= 2\pi - \frac{\mu_2 - \mu_1}{2\pi} > 0, \end{aligned} \tag{3.58}$$

а $H_{jk}^{(q)}$ — величины (2.17), вычисленные по собственным функциям задачи (2.2) на сечении ω цилиндра $\Omega \subset \mathbb{R}^d$. Формулы (3.57) получаются из формул (3.58) подстановкой явных выражений (3.48).

Для того чтобы закончить повторение рассуждений из п. 3§2 и образовать лауну вокруг любой точки M из сегмента спектра $[\pi^2, 9\pi^2]$ задачи Дирихле в единичной полосе $\widehat{\Omega}^0 = (0, 1) \times \mathbb{R}$, осталось написать три формулы Адамара [26]

$$\Lambda_k^\varepsilon(0) = \frac{k^2 \pi^2}{D^2} - \varepsilon \frac{2k^2 \pi^2}{D^3} H_\oplus^{(0)} + O(\varepsilon^2), \quad k = 1, 2, 3, \quad (3.59)$$

для собственных чисел задачи (1.10)–(1.12) с фиксированным параметром $\eta = 0$ на ячейке $\varpi^\varepsilon = \{(y, z) : z \in (0, 1), -\varepsilon h_-(z) < y < D + \varepsilon h_+(z)\}$ с регулярно возмущенными основаниями.

Напоминаем, что вокруг точки $M \in (\pi^2, 4\pi^2]$ открывается лагуна, полученная из лагуны G_1^ε заменой $\lambda^\varepsilon \mapsto \widehat{\lambda}^\varepsilon = D^2 \lambda^\varepsilon$ спектрального параметра, а вокруг точки $M \in (4\pi^2, 9\pi^2]$ – лагуна, полученная из лагуны G_2^ε .

§4. ЛАГУНЫ В СПЕКТРЕ МНОГОМЕРНОЙ ЗАДАЧИ НЕЙМАНА

4.1. Первая лагуна. Собственные числа задачи Неймана

$$-\Delta_y W(y) = \mu W(y), \quad y \in \omega, \quad \partial_\nu W(y) = 0, \quad y \in \partial\omega,$$

на сечении $\omega \subset \mathbb{R}^{d-1}$ цилиндра Ω^0 образуют последовательность

$$0 = \mu_1 < \mu_2 \leq \mu_3 \leq \dots \leq \mu_n \leq \dots \rightarrow +\infty, \quad (4.1)$$

а соответствующие собственные функции $W_1, W_2, W_3, \dots, W_n, \dots \in H^1(\omega)$ (по предположению о границе $\partial\omega$ они гладкие на множестве $\overline{\omega}$) можно подчинить условиям ортогональности и нормировки (2.4). При этом $W_1(y) = (\text{mes}_{d-1}\omega)^{1/2}$ – постоянная. Как обычно, предполагаем, что μ_2 – простое собственное число, т.е.

$$0 = \mu_1 < \mu_2 < \mu_3.$$

Изучим расщепление нижнего узла $P^1 = (\pi, \pi^2)$ (в определении (2.19) теперь фигурирует элемент $\mu_1 = 0$ последовательности (4.1)) при условии

$$\mu_2 > \pi^2. \quad (4.2)$$

Примем формулы (3.9) и (3.12)–(3.14). Подставим анзацы (1.15) и (3.13) в задачу (1.10), (3.11), (1.12) и сразу же получим дифференциальное

уравнение (3.15) вместе с условиями периодичности (3.21). Неоднородное краевое условие Неймана на боковой поверхности $\gamma^0 = \partial\omega \times (0, 1)$ цилиндрической ячейки ϖ^0 выглядят так:

$$\begin{aligned} \partial_\nu \mathcal{U}'_p(\psi; 0, s, z) &= -h(s, z) \partial_\nu^2 \mathcal{U}_p^0(\psi; 0, s, z) + \nabla_s h(s, z) \cdot \nabla_s \mathcal{U}_p^0(\psi; 0, s, z) \\ &+ \partial_z h(s, z) \cdot (\partial_z + i\pi) \mathcal{U}_p^0(\psi; 0, s, z), \quad (s, z) \in \partial\omega \times (0, 1). \end{aligned} \quad (4.3)$$

Здесь сохранены обозначения $\mathcal{U}_p^0(\psi; \nu, s, z)$ и $\mathcal{U}'_p(\psi; \nu, s, z)$ для функций, записанных при помощи криволинейных координат ν, s, z . Условия разрешимости задачи (3.15), (4.3), (3.21), а именно, равенства

$$\begin{aligned} \Lambda'_p(\psi) \int_{\varpi^0} \overline{\mathcal{W}_\pm} \mathcal{U}_p^0 dx \\ = -2i\psi \int_{\varpi^0} \overline{\mathcal{W}_\pm} (\partial_z + i\pi) \mathcal{U}_p^0 dx - \int_0^1 \int_{\partial\omega} \overline{\mathcal{W}_\pm} \partial_z h (\partial_z + i\pi) \mathcal{U}_p^0 ds dz \end{aligned}$$

с функциями $\mathcal{W}_\pm(y, z) = W_1(y)$ и $\mathcal{W}_-(y, z) = e^{-2\pi iz} W_1(y)$, преобразуем аналогично выкладкам (3.22)–(3.25). Они принимают вид системы алгебраических уравнений

$$\begin{aligned} \Lambda'_p(\psi) a_p^+(\psi) &= 2\pi\psi a_p^+(\psi) + \frac{2\pi^2 \overline{H^{(1)}}}{\text{mes}_{d-1}\omega} a_p^-(\psi), \\ \Lambda'_p(\psi) a_p^-(\psi) &= -2\pi\psi a_p^-(\psi) + \frac{2\pi^2 H^{(1)}}{\text{mes}_{d-1}\omega} a_p^+(\psi), \end{aligned}$$

где аналогично (3.24)

$$H^{(1)} = \int_0^1 \int_{\partial\omega} e^{2\pi iz} h(s, z) ds dz.$$

Таким образом,

$$\Lambda'_{1,2}(\psi) = \pm 2\pi \sqrt{\frac{\pi^2 |H^{(1)}|^2}{(\text{mes}_{d-1}\omega)^2} + \psi^2},$$

и, следовательно, для концов лакуны G_1^ε верны асимптотические формулы

$$g_{1\pm}^\varepsilon = \pi^2 \pm \frac{2\pi^2 \varepsilon}{\text{mes}_{d-1}\omega} |H^{(1)}| + O(\varepsilon^2). \quad (4.4)$$

Эта лакуна заведомо раскрыта при $H^{(1)} \neq 0 \in \mathbb{C}$, причем точка π^2 попадает вовнутрь G_1^ε .

4.2. Вторая лакуна. В предположении

$$\mu_2 < 4\pi^2 \quad (4.5)$$

изучим расщепление узлов

$$P_\pm^2 = \left(\pi \pm \frac{\mu_2}{4\pi}, \pi^2 + \frac{\mu_2}{2} + \frac{\mu_2^2}{16\pi^2} \right) \quad (4.6)$$

(ср. формулу (2.22), где $\mu_1 = 0$). Во избежание перекрытия возможной лакуны другими спектральными сегментами (см. рис. 7), предположим, что

$$\pi^2 + \frac{\mu_2}{2} + \frac{\mu_2^2}{16\pi^2} \leq \mu_3 \quad (4.7)$$

Рассматривая окрестность точки $\eta_- = \pi - (4\pi)^{-1}\mu_2$, положим

$$\eta = \pi - \frac{\mu_2}{4\pi} + \varepsilon\psi.$$

Назначим асимптотический анзац (3.29) для собственных чисел $\Lambda_p^\varepsilon(\eta)$ и анзац (3.13) для собственных функций $U_p^\varepsilon(\eta; \cdot)$; здесь $p = 2, 3$. Главный член $\mathcal{U}_p^0(\psi; y, z)$ имеет вид (3.31); кроме того, Λ_p^0 — ордината узлов (1.7). Поправочные слагаемые $\mathcal{U}'_p(\psi; y, z)$ и $\Lambda'_p(\psi)$ находятся из краевой задачи (3.15), (4.3), (3.21), условия разрешимости которой превращаются в систему линейных алгебраических уравнений

$$\begin{aligned} \Lambda'_p(\psi)a_p^1(\psi) &= -2\psi \left(\pi + \frac{\mu_2}{4\pi} \right) a_p^1(\psi) + H^{(12)} a_p^2(\psi), \\ \Lambda'_p(\psi)a_p^2(\psi) &= 2\psi \left(\pi - \frac{\mu_2}{4\pi} \right) a_p^1(\psi) + H^{(21)} a_p^1(\psi) + H^{(22)} a_p^2(\psi), \end{aligned}$$

где

$$\begin{aligned} H^{(12)} = \overline{H^{(21)}} &= -\frac{4\pi^2 + \mu_2}{2(\text{mes}_{d-1}\omega)^{1/2}} \int_0^1 e^{2\pi iz} \int_{\partial\omega} h(s, z) W_2(y) ds dz, \\ H^{(22)} &= \int_0^1 \int_{\partial\omega} h(s, z) (|\nabla_s W_2(y)|^2 - \mu_2 |W_2(y)|^2) ds dz. \end{aligned} \quad (4.8)$$

Подчеркнем важное обстоятельство: множители при h в подынтегральных выражениях (4.8) не обращаются тождественно в нуль на

$\partial\omega$. Для $W_2(y)$ сказанное очевидно, так как решение уравнения Гельмгольца $\Delta_y W_2 + \mu_2 W_2 = 0$ в области ω не может удовлетворять обоим крайевым условиям Дирихле и Неймана на границе $\partial\omega$. Проверим аналогичное утверждение для функции

$$T(y) = |\nabla_s W_2(y)|^2 - \mu_2 |W_2(y)|^2. \quad (4.9)$$

Пусть y^+ и y^- – точки, в которых реализуется максимум и минимум сужения гладкой функции W_2 на поверхность $\partial\omega$. Поскольку $\nabla_s W_2(y^\pm) = 0$, функция (4.9) аннулируется в обеих точках y^\pm разве лишь в случае $W_2(y^\pm) = 0$, приводящем, как уже пояснялось, к абсурдному равенству $W_2 \equiv 0$ на ω .

Далее предполагаем выполненным требование

$$\int_0^1 e^{2\pi iz} \int_{\partial\omega} h(s, z) W_2(y) ds dz \neq 0 \in \mathbb{C}. \quad (4.10)$$

Формула (3.39) для собственных чисел матрицы (3.37) показывает, что

$$\Lambda'_{2,3}(\psi) = \frac{1}{2}(H^{(22)} - 2\psi\vartheta) \pm \frac{1}{2}\sqrt{(H^{(22)} + 4\pi\psi)^2 + 4|H^{(12)}|^2}.$$

Поскольку при условии (4.10) справедливы соотношения (3.40), обнаруживаем согласно неравенству (3.41), что

$$\max_{\psi \in \mathbb{R}} \Lambda'_2(\psi) < \min_{\psi \in \mathbb{R}} \Lambda'_3(\psi), \quad (4.11)$$

т.е. лакуна G_2^ε раскрыта в силу проверенных асимптотических представлений собственных чисел

$$\Lambda_k^\varepsilon(\pi \pm \frac{\mu_2}{4\pi} + \varepsilon\psi) = \pi^2 + \frac{\mu_2}{2} + \frac{\mu_2^2}{16} + \varepsilon\Lambda'_k(\psi) + O(\varepsilon^2), \quad k = 2, 3..$$

Подбором профильной функции h величинам (4.8) можно придать любые значения и, например, сделать минимум из (4.11) положительным, а максимум – отрицательным, т.е. поместить ординату узлов (4.6) вовнутрь лакуны.

4.3. Образование лакуны около заданной точки спектра. Примем обозначения $\widehat{\Omega}$, $\widehat{\mu}_n$ и пр. из п. 3 §2. Зафиксируем точку $M \in (0, \widehat{\mu}_2)$ из спектра $\widehat{\sigma} = [0, +\infty)$. При учете преобразования (2.27) видим, что ордината π^2 узла P^1 превращается в $\pi^2 l^{-2}$, а требование (4.2) означает, что

$$\widehat{\mu}_2 \geq \pi^2 l^{-2} \quad \Leftrightarrow \quad l \geq \pi(\widehat{\mu}_2)^{-1/2}.$$

Поскольку $\pi^2 l_M^{-2} = M$ при $l_M = \pi M^{-1/2} > \pi(\hat{\mu}_2)^{-1/2}$ в спектре $\hat{\sigma}^\varepsilon$ волновода $\hat{\Omega}^\varepsilon$ образуется лагуна

$$\hat{G}_1^\varepsilon = \left\{ \hat{\lambda} : l^2 \hat{\lambda} \in G_1^\varepsilon \right\}, \quad (4.12)$$

получающаяся из лагуны $G_1^\varepsilon \ni \pi^2$ (см. п. 1 §4) и потому содержащая заданную точку M .

Пусть теперь $M \in (\hat{\mu}_2, \hat{\mu}_3)$. Преобразование (2.26) переопределяет ординаты узлов (4.6) в величину

$$l^{-2} \left(\pi^2 + l^2 \frac{\hat{\mu}_2}{2} + l^4 \frac{\hat{\mu}_2^2}{16\pi^2} \right) = l^{-2} \pi^2 + \frac{\hat{\mu}_2}{2} + l^2 \frac{\hat{\mu}_2^2}{16\pi^2} =: N(l),$$

а условия (4.5) и (4.7) – в ограничение

$$l^2 \hat{\mu}_2 < 4\pi^2 \quad \Leftrightarrow \quad l < 2\pi(\hat{\mu}_2)^{-1/2}.$$

При $l \in (0, 2\pi(\hat{\mu}_2)^{-1/2})$ функция $l \mapsto N(l)$ монотонно убывает от $+\infty$ до $\hat{\mu}_2$, а значит, принимает значение M при некотором $l_M < 2\pi(\hat{\mu}_2)^{-1/2}$. Как и в предыдущих параграфах, неравенство $N(l_M) < l_M^2 \hat{\mu}_3$ сохраняет лагуну открытой, но ограничивает снизу интервал изменения параметра l . Решая квадратное уравнение, находим, что

$$l > l_* := \frac{2\sqrt{2}\pi}{\hat{\mu}_2} \sqrt{\hat{\mu}_3 - \frac{\hat{\mu}_2}{2} - \sqrt{\hat{\mu}_3(\hat{\mu}_3 - \hat{\mu}_2)}}$$

Поскольку $N(l_*) = \hat{\mu}_3$, желанный результат о раскрытии лагуны установлен на всем полуинтервале (1.16), за исключением точек $M = \hat{\mu}_2$ и $M = \hat{\mu}_3$.

Заметим, что собственное число $\Lambda_2^\varepsilon(0)$ задачи (1.10), (3.11), (1.12) с параметром $\eta = 0$ на возмущенной ячейке ϖ^ε допускает аналогичное (3.59) разложение

$$\Lambda_2^\varepsilon(0) = \mu_2 + \varepsilon H^{(22)} + O(\varepsilon^2),$$

где $H^{(22)}$ – величина из списка (4.8). Поскольку, как и ранее, равенство $|\nabla_s W_2(y)| = \mu_2^{1/2} |W_2(y)|$ невозможно всюду на поверхности $\partial\omega$, подбором профиля h добиваемся неравенств

$$|H^{(1)}| \neq 0, \quad H^{(22)} \geq \frac{2\pi^2 |H^{(1)}|}{\text{mes}_{d-1}\omega}, \quad (4.13)$$

и в силу результата из п. 1 §4 обнаруживаем лагуну G_1^ε с концами (4.4), содержащую точку π^2 . Наконец, зафиксируем период $l = \pi(\hat{\mu}_2)^{-1/2}$ и

переведем точку $M = \hat{\mu}_2$ в ординату узла $P^1 = (\pi, \pi^2)$. Полученная обратным преобразованием лакуна (4.12) содержит рассматриваемую точку. Точно так же поступаем и с точкой $M = \hat{\mu}_3$.

ЛИТЕРАТУРА

1. С. А. Назаров, *Лакуна в существенном спектре задачи Неймана для эллиптической системы на периодической области*. — Функциональный анализ и его приложения **43**, No. 3 (2009), 92–95.
2. С. А. Назаров, *Пример множественности лагун в спектре периодического волновода*. — Матем. сборник **201**, No. 4 (2010), 99–124.
3. S. A. Nazarov, K. Ruotsalainen, J. Taskinen. *Essential spectrum of a periodic elastic waveguide may contain arbitrarily many gaps*. — Appl. Anal. **89**, No. 1 (2010), 109–124.
4. О. А. Ладыженская, *Краевые задачи математической физики*. Наука, М., 1973.
5. М. Ш. Бирман, М. З. Соломяк, *Спектральная теория самосопряженных операторов в гильбертовом пространстве*. Изд-во Ленингр. ун-та, Л., 1980.
6. П. А. Кучмент, *Теория Флоке для дифференциальных уравнений в частных производных*. — Успехи матем. наук **37**, No. 4 (1982), 3–52.
7. P. Kuchment, *The mathematics of photonic crystals*. — Ch. 7. In “Mathematical Modeling in Optical Science,” Frontiers Appl. Math., SIAM **22** (2001), 207–272.
8. S. A. Nazarov, *Properties of spectra of boundary value problems in cylindrical and quasicylindrical domains*. — Sobolev Spaces in Mathematics. V. II (Maz'ya V., Ed.) International Mathematical Series, Vol. 9. New York: Springer (2008), pp. 261–309.
9. М. М. Скриганов, *Геометрические и арифметические методы в спектральной теории многомерных периодических операторов*. — Труды матем. ин-та им. В. А. Стеклова АН СССР **171**, Наука, Ленинград, 1985.
10. С. А. Назаров, Б. А. Пламеневский, *Эллиптические задачи в областях с кусочно гладкой границей*. Наука, М., 1991.
11. P. Kuchment, *Floquet theory for partial differential equations*. Birkhäuser, Basel, 1993.
12. И. М. Гельфанд, *Разложение по собственным функциям уравнения с периодическими коэффициентами*. — Доклады АН СССР **73** (1950), 1117–1120.
13. С. А. Назаров, *Эллиптические краевые задачи с периодическими коэффициентами в цилиндре*. — Известия АН СССР. Серия матем. **45**, No. 1 (1981), 101–112.
14. Ж.-Л. Лионс, Э. Мадженес, *Неоднородные граничные задачи и их приложения*. Мир, М., 1971.
15. Т. Като, *Теория возмущений линейных операторов*. Мир, М., 1972.
16. С. А. Назаров, *Открытие лагуны в непрерывном спектре периодически возмущенного волновода*. — Матем. заметки **87**, No. 5 (2010), 764–786.
17. С. А. Назаров, *Асимптотика спектральных лагун в регулярно возмущенном периодическом волноводе*. — Вестник СПбГУ. Сер. 1 Вып. 2, No. 7 (2013), 54–63.

18. G. Cardone, S. A. Nazarov, C. Perugia, *A gap in the essential spectrum of a cylindrical waveguide with a periodic perturbation of the surface*. — Math. Nachr. **283**, No. 9 (2010), 1222–1244.
19. С. А. Назаров, *Асимптотический анализ лакун в спектре волновода, возмущенного периодическим семейством малых полостей*. — Проблемы матем. анализа **66** (2012), 101–146.
20. F. L. Bakharev, S. A. Nazarov, K. M. Ruotsalainen. *A gap in the spectrum of the Neumann–Laplacian on a periodic waveguide*. — Appl. Anal. **88** (2012), 1–17.
21. Д. И. Борисов, К. В. Панкрашкин, *Открытие лакун и расщепление краев зон для волноводов, соединенных периодической системой малых окон*. — Матем. заметки **93**, No. 5 (2013), 665–683.
22. D. Borisov, K. Pankrashkin, *Quantum waveguides with small periodic perturbations: gaps and edges of Brillouin zones*. — J. Phys. A: Math. Theor. **46** (2013), 1–18.
23. В. А. Кондратьев, *Краевые задачи для эллиптических уравнений в областях с коническими или угловыми точками*. — Труды Московск. матем. об-ва **16** (1963), 219–292.
24. J. Harrison, P. Kuchment, A. Sobolev, B. Winn, *On occurrence of spectral edges for periodic operators inside the Brillouin zone*. — J. Phys. A **40**, No. 27 (2007), 7597–7618.
25. P. Exner, P. Kuchment, B. Winn, *On the location of spectral edges in Z-periodic media*. — J. Phys. A **43**, No. 47 (2010), id 474022.
26. J. Hadamard, *Mémoire sur le problème d'analyse relatif à l'équilibre des plaques élastiques encastrées*. — Œuvres **2** (1968), 515–631.
27. N. Kuznetsov, V. Maz'ya, B. Vainberg, *Linear Water Waves*. Cambridge Univ. Press, Cambridge, 2002.
28. Ю. Н. Работнов, *Механика деформируемого твердого тела*. Наука, М., 1988.

Nazarov S. A. Gap opening around a given point of the spectrum of a cylindrical waveguide by means of gentle periodic perturbation of walls.

We discuss one of the main questions in band-gap engineering, namely by an asymptotic analysis it is proven that any given point of a certain interval in the spectrum of a cylindrical waveguide can be surrounded with a spectral gap by means of a periodical perturbation of the walls. Both the Dirichlet and Neumann boundary conditions for the Laplace operator are considered in planar and multi-dimensional waveguides.

ИПМаш РАН В.О. Большой пр. 61,
199178 Санкт-Петербург, Россия
С.-Петербургский
государственный университет,
Университетский пр. 28, Петродворец,
198504 Санкт-Петербург, Россия
E-mail: srgnazarov@yahoo.co.uk

Поступило 2 декабря 2013 г.